Supplement to

ADVANCED QUANTUM MECHANICS (2nd Edition)

Freeman J. DYSON
Institute for Advanced Study, Frinceton

- I. Particle Mechanics and Field Mechanics (page 1-22)
- II. On the Relation between Scattering Matrix Elements and Cross-sections (page 1-6)
- III. Renormalisation (page 1-44). Ce chapitre a été rédigé par J. LASCOUX, Laboratoire de Chimie Nucléaire du Collège de France, et J. MANDELBROJT, Laboratoire de Physique de l'Ecole Normale Supérieure.

Université de Grenoble Université de Grenoble

Cours proféssé à l'ECOLE D'ETE DE PHYSIQUE THEORIQUE

Les Houches (Haute-Savoie), France

Août 1954

The following pages are an expanded version of the section "Field Theory" which occupies pages 47-62 of the Advanced Quantum Mechanics notes, second edition. The main idea of the new version is to illustrate the general principles of the theory at each stage by considering their application to a simple one-particle system.

Particle Mechanics and Field Mechanics

In classical mechanics we consider two kinds of systems:

(i) Particle systems, in which the system is described by the positions and velocities of a finite set of particles; (ii) Field systems, in which the system is described by one or more finctions, defined all over space and giving the strength of the field at each point. In case (i) the equations of motion are ordinary differential equations, in case (ii) partial differential equations. Examples: for (i) Newtonian mechanics, for (ii) the Maxwell theory.

In quantum theory we have the same two possibilities. (i)

Quantum mechanics of particles. (ii) Quantum field theory. We know how to construct quantum theory in case (i), at seast for non-relativistic systems. So our method will be to find a general principle of quantization which applies to both kinds of classical mechanics. This will lead us to the quantum field theory when we apply it to the classical field theory.

Refore we begin to talk about quantization, we must make some remarks about Classical theories, especially to discover the similarities between classical particle and classical field mechanics. We shall see that the similarity lies chiefly in the fact that both kinds of mechanics can be based upon an Action Frinciple. This is the reason why we choose the Feynman action Principle also as the starting-point for our discussion of the quantum theory later on.

Classical Farticle Machanics

We take a single particle with coordinates q^{α} , $\alpha = 1,2,3$ (ordinary Cartesian coordinates). It is moving non-relativistically with mass μ in a potential V (q), a function of position only. Write

$$\dot{q}^{\alpha} = dq^{\alpha}/dt$$
 (A1)
The theory is described by a function of the q^{α} and their

time-derivatives, called the Lagrangian,

$$L = L(q^d, \dot{q}^d). \tag{A2}$$

For the examples here considered

the example s here considered
$$L = \frac{1}{2} \operatorname{mig}^{2} - V(q), \dot{q}^{2} + \sum_{i=1}^{3} \dot{q}^{2}. \tag{A3}$$

The theory applies in a well-known way to More general systems containing more than one particle.

The behavior of the particle is fixed by the Action Principle. If tl, t2 are any two times, then the Action integral

$$I(t_1 t_2) = \int_{t_2}^{t_1} L(t) dt$$
(A4)

is stationary for the physically possible trajectories $q^{*}(t)$. That is to say, the variation $q^{*} \rightarrow q^{*} + fq^{*}$ produces no change in I to first order in fq^{*} , if fq^{*} is an arbitrary variation vanishing at the times t1 and t2.

We now compute the variation in I.

We now compute the variation in 1.

$$\iint_{t_1} t_2 = \int_{t_2}^{t_1} \left(\frac{\partial L}{\partial q^{\alpha}} \int_{q^{\alpha}}^{q^{\alpha}} + \frac{\partial L}{\partial \dot{q}^{\alpha}} \int_{q^{\alpha}}^{q^{\alpha}} \int_{q^{\alpha}}^{q^$$

The last term in (A5) is zero when $\frac{1}{2}$ x 0 at times t_1 and t_2 . So the action principle is equivalent to the Lagrangian equations of motion

$$\frac{\partial L}{\partial q^{d}} - \frac{d}{dt} \left(\frac{\partial L}{\partial \dot{q}^{d}} \right) \neq 0 \tag{A6}$$

which for the special example (A3) reduce to

$$m \ddot{q} = -\frac{\partial V}{\partial u^{2}}$$
(A7)

The quantity

A more general type of variation is made by varying not only

the % but also the times t_1 and t_2 . Thus $t_1 \rightarrow t_1 + ft_1$, t2 - t2 + ft2. We define to be the new 7, and 7 to be the old. We write

Eq (+) = , 9 (+) - 9 (+) (A9)

for the variation of
$$q^{\alpha}$$
 at a fixed time t , while

$$\Delta q^{\alpha}(t_i) = q^{\alpha}(t_i + \delta t_i) - q^{\alpha}(t_i)$$

$$= \delta q^{\alpha}(t_i) + q^{\alpha}(t_i + \delta t_i) - q^{\alpha}(t_i)$$

$$= \delta q^{\alpha}(t_i) + \delta t_i - q^{\alpha}(t_i)$$
(A10)

is the variation in $q^{\alpha}(t_1)$ produced by varying both q^{α} and t_1 .

Under this double variation

$$\begin{aligned}
&\int F(t_{i}, t_{2}) \\
&= \int_{t_{i}}^{t_{i}+\delta t_{i}} L(t) dt - \int_{t_{2}}^{t_{2}+\delta t_{i}} L(t) dt \\
&+ \int_{t_{2}}^{t_{i}} \int L(t) dt \\
&= L(t_{i}) \delta t_{i} - L(t_{2}) \delta t_{2} + \left[\sum_{\lambda} \frac{\partial \lambda}{\partial \dot{q}^{\alpha}} \int_{t_{2}}^{\alpha} \int_{t_{2}}^{\alpha} (All) \right]
\end{aligned}$$

where we drop the term in (A5) which vanishes when the field equations (A6) are satisfied. Using (A8) and (A10), Equation (A11)

becomes
$$SI = \left[L(t_1) - \sum_{\alpha} f_{\alpha} q^{\alpha}(t_1)\right] St_1$$

$$-\left[L(t_1) - \sum_{\alpha} f_{\alpha} q^{\alpha}(t_1)\right] St_2$$

$$+ \sum_{\alpha} f_{\alpha} \Delta q^{\alpha}(t_1) - \sum_{\alpha} \rho^{\alpha} \Delta q^{\alpha}(t_2) \quad \text{(A12)}$$

The Hamiltonian function is by definition

$$H(t) = \sum_{\alpha} p_{\alpha} \dot{q}^{\alpha} - L \tag{A13}$$

and so (Al2) becomes

$$SI = \sum_{\alpha} \left[P_{\alpha} \Delta q^{\alpha}(t') - P_{\alpha} \Delta q^{\alpha}(t_{2}) \right] - \left[H(t_{1}) St_{1} - H(t_{2}) St_{2} \right]$$
(Al4)

The equations of motion can also be written in the form

$$\dot{q}^{A} = \frac{\partial H}{\partial P \alpha} , \quad \dot{P}^{A} = -\frac{\partial H}{\partial q^{A}}$$
(A15)

For the one-particle example, we have by (A3)

$$\int_{1}^{\alpha} = m q^{\alpha}$$
 $H = \frac{1}{2m} \sum_{m} P_{n}^{2} + V(q) = \frac{p^{2}}{2m} + V(q)$
(A16)

We see that although the Action Principle states only that the action is stationary for variations vanishing at the endpoints t₁ and t₂, we can deduce the result (Al4) of a variation which does not vanish at the end-points. This is possible because each state of motion is defined by fixing as many coordinates as can be fixed independently (e.g. the 3 coordinates at two different times, or 3 coordinates and 3 velocities at one time) and then the whole past and future of the motion is determined by the field equations.

Classical Relativistic Field Theory

We now go over the action principle formulation of field theory in pages 47-49 of the AQM notes. Notice that everything in the particle mechanics has a precise analog in the field mechanics.

Particle

Field Time t

Time interval to - t1

End-points t1 , t2 Coordinates 4 which are functions of t Space-time point $X = (X_1, X_2, X_3, X_0)$ Space-time region 1) Boundary 3-dimensional surface \sum

Field quantities ϕ which are functions of (x_1, x_2, x_3, x_6)

The only place in the theory where this parallelism breaks down is in the definition of the Hamiltonian. The Hamiltonian exists in the field theory only when we speak of the special case of flat surfaces 6, and 6, defined by times t1 and t2. In this case the Hamiltonian is a function of time only, in the field theory as well as in the particle theory. So the analogy time t -> space-time point X is not valid any more. For this reason the Hamiltonian Formalism obscures the correspondence between particle and field mechanics, and we shall avoid using the Hamiltonian in our development of the quantum theory, so far as possible.

Particle Quantum Mechanics

In the quantum theory the coordinates 4 7/ bf a particle are supposed to be operators. They are to satisfy the same equation of motion (A7) as before. This is ensured if we assume that the same Action Principle holds, namely

$$I = \int_{t_{L}}^{t_{L}} L(y, \dot{y}^{d}) dt$$
(A 18)
(A 19)

for all variations of the q^{α} vanishing at t_1 and t_2 . By a variation in this case we mean a change of q^{α} to q^{α} , where the q^{α} are ordinary numbers and not operators.

In quantum theory, because of the uncertainty principle, it is not possible to give numerical values to the q''(f)throughout a physical motion. In fact a state of motion is specified by giving numerical values to the q''(f), or alternatively to the $\rho''(f)$, at a single time t. The future of the state cannot then be determined from the second order equations (A7). So the Action principle (A18) which was enough for classical mechanics is no longer enough. We must make some additional statement about the behavior of f for variations f which are not zero at f and f.

A state of motion is specified if we give a time t and numerical values q'^{\sharp} for the eigenvalue of the operators q'^{\sharp} at time t. The state in which the q''(t) have the eigenvalues q'' is written $|q''^{\sharp}(t)|$ in Dirac's ket notation. This is a special kind of state in which the particle has a well-defined position at time t. A general state is a linear combination 1

$$\begin{cases} A, q' & \psi(q',t) \mid q'',t \end{cases}$$
where $\psi(q',t)$ is the "wave-function" of the state as usually defined in Schrödinger wave-mechanics.

Physically observable quantities are expressions such as the matrix element

$$\langle q'_{1}, t_{1} | q'_{1}(t) | q'_{2}, t_{2} \rangle$$
 (A21)

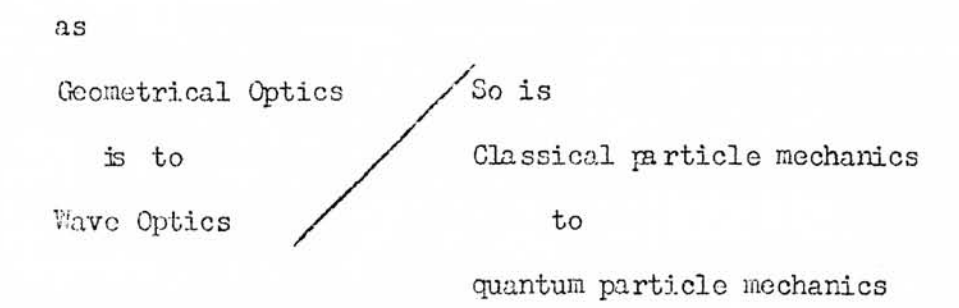
of the position operator q'(F) between the two states specified by q'(G) at time t_1 and by q'(G) at time t_2 . In particular, the transition probability amplitude between the two states is

$$M = \langle q'_1, t_1 | q'_2, t_2 \rangle$$
 (A22)

 $|\mathcal{M}|^2$ is the probability for finding the particle at the position q'^{κ} at time t_2 , in the state in which it was known to be at q'^{κ} at the earlier time t_2 .

Huyghens' Principle and the Feynman Method & Quantization

Feynman arrived at his method of quantizing particle mechanics by following the well-known relationship



In geometrical optics the rays of light are defined by Fermat's principle of least time. The ray passing through two points XY is the path joining X to Y, such that the time taken for a disturbance moving along it from X to Y (with velocity defined by the local refractive-index at each point) is a minimum. In classical particle mechanics the rays are replaced by orbits. The orbit of a particle travelling from X to Y is the path along which the Action Integral (A4) is a minimum. So the principle of least time is a precise

analog to the Action Principle of classical mechanics.

Now in wave optics we no longer have a principle of least time, but instead we have <u>Huyghens' Principle</u>. This tells how to calculate diffraction patterns when light is passing through a small hole in a screen. (Exact statement of the principle is due to Fresnel and Kirchoff, following the less precise idea of Huyghens).

Let source of light be P, let Q be a fixed point behind the screen at which we observe the light, let R be a variable point in the hole. Let $k = \frac{2\pi}{\lambda}$ where λ is the wavelength of the light. Then

Field strength at R produced by point source at P is

$$F(PR) = A \frac{1}{|PR|} e^{i |PR|}$$
(A23)

Field strength at Q produced by point source at R is

$$F(RQ) = B \frac{1}{|QR|} e^{i |K|QR|}$$
(A24)

A and B are constants depending on the source intensity. We suppose the space is empty (except for the screen) and has refractive index everywhere equal 1.

The Huyghens-Fresnel principle now states that the field-strength at Q produced by the source at P is

$$F(PQ) = \int dR F(PR)F(RQ)$$

$$= AB \int dR \frac{1}{|PR||RQ|} e^{iR[PR|+|RQ|]}$$
(A25)

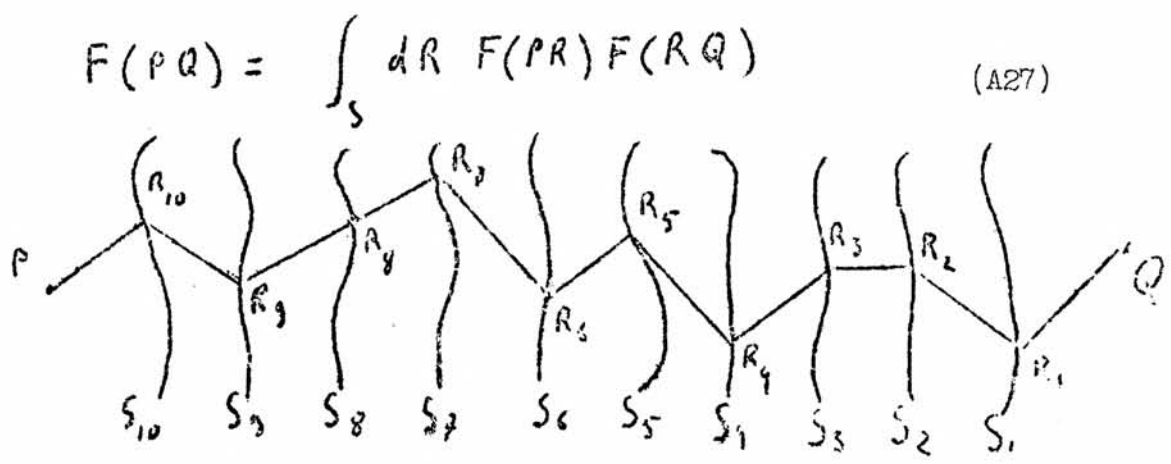
where the integration is over the area of the hole, and the variable of integration is the variable point R. The light-intensity at Q is proportional to

$$I(PQ) = |F(PQ)|^2 \tag{A26}$$

This principle is useful in calculating diffraction patterns in practical cases.

Let us now generalize this principle. Suppose light is travelling in any way from a source P through a space containing any kind of obstacles, lenses, etc.

and is observed at a point Q. Let S be any surface separating P and Q, R a variable point on S. Then



Now take a whole series of surfaces $S_1,\ S_2$ S_N lying between Q and P, then (A27) gives

$$F(PQ) = \int_{S_{1}} dR_{1} \int_{S_{2}} dR_{2} - \cdots \int_{S_{N}} dR_{N}$$

$$F(PR_{N}) F(R_{N}R_{N-1}) - \cdots F(R_{2}R_{1}) F(R_{1}Q)$$
(A28)

Suppose the surfaces are now all close together so that each distance | R; R: | is small. Then for F(R; R:)

we may use the approximation

we may use the approximation
$$F(R;R_{i-1}) = \frac{1}{|R_i|R_{i-1}|} e^{i |R_i|R_{i-1}|}$$

$$= \frac{1}{|R_i|R_{i-1}|} e^{i |R_i|R_{i-1}|}$$

$$= \frac{1}{|R_i|R_{i-1}|} e^{i |R_i|R_{i-1}|}$$
Here K is the local $\frac{1}{|R_i|R_{i-1}|}$ at the position R_i , since $\frac{1}{|R_i|R_{i-1}|}$ is now a function of the local refractive index. $\frac{1}{|R_i|R_{i-1}|}$

is the <u>local</u> at the position \mathcal{K}_i , since is now a function of the local refractive index. $\mathcal{T}(\mathcal{R}_i, \mathcal{R}_{i-1})$ is the time taken for a disturbance to travel along the dassical ray from R_i to R_{i-1} , and i is the light frequency which is

everywhere constant. Substituting (A29) into (A28) we have

exp
$$\left[i\omega\left(T(PR_{ij}),T(R_{ij}R_{N-1}),...,T(R_{i}Q)\right)\right]_{(A30)}^{i}$$

instead of $\left[\int ... \int \frac{1}{|PR_{ij}|...|R_{i}Q|}\right]$ we write for short (A31)

meaning an integration over all polygonal paths joining P to Q. And we write

$$T(FR_n) + \cdots + T(R_nQ) = T(path)$$
 (A32)

for the classical propagation time along any one path. So

finally for the intensity of light at Q we have the general result

$$I(Q) = |F(PQ)|^2 = \left| \int d \rho a ths \exp \left[e^{i\omega T(\rho a th)} \right] \right|^2$$
(A33)

So every possible path contributes to the field-strength at Q a term whose phase is given just by the classical time-integral along the path.

This principle we now take over directly into the quantum mechanics of a particle, just changing the time-integral into the classical action integral. So here is Feynman's principle of quantization.

Suppose a particle starts from position r_2 at time t_2 . Then the probability that it arrives at position r_1 at time t_1 is

$$F(z,t_1,z_1t_2) = \left|F(z,t_1,z_1t_2)\right|^2$$

$$F(z,t_1,z_1t_2) = \int d\rho n t d\rho \exp\left[C(f_1)\right] \left(\rho e^{-f_1}\right)$$
(A35)

where
$$I(path) = \int_{t_{L}}^{t_{L}} L(q, \dot{q}) dt$$
 (A36)

is the classical action integral taken along any particular path. To define (A35) more precisely, we suppose a large number of times T_{N} , T_{N} , ..., T_{N} to be chosen between to and the A path is specified by choosing a position P_{N} of the particle at each T_{1} . Let $I(P_{N}, P_{1}, P_{1}, P_{2}, P_{2})$ be the action integral taken along the classical orbit which passes through the position P_{N} at T_{1} and P_{N} at T_{2} . Then (A35) is a short way of writing

$$\exp \left[(i/_{\!\!R}) \left(I(z_{1}t_{1})(_{\!\!N}T_{N}) + I(e_{N}T_{N})(_{\!\!N-1}T_{N-1}) + \cdots \right. \right. \\ + \left. I(e_{1}T_{1}, e_{1}T_{1}) + I(e_{1}T_{1}, z_{1}t_{1}) \right) \right]$$

$$\left. (A37) \right.$$

where A is a normalization constant depending on the T_i but not on r_1 and r_2 , and we suppose that every time-interval (T_i, T_{i-1}) tends to zero as $N \longrightarrow \infty$. Each $\int \int_{\Gamma_i} r_i \, dx$ is an integral over the whole volume of space.

Thus we see that $\int d$ paths in (A35) is an integral over all paths which begin at r_2 at time t_2 and end at r_1 at time t_1 .

The Huyghens principle in optics describes propagation of light in space, while wave-mechanics describes propagation of particle probability in time. So the surfaces S_{ℓ} of the Huyghens principle become in wave-mechanics 3-dimensional, i.e. they consist of the whole space at a particular time T_{i} .

Important Note. The Huyghens-Fresnel principle in wave-optics is only approximately valid, because the wave-equation is a second-order equation and so the propagation through a surface requires a knowledge of the field-strength and its derivative on the surface. The exact principle was formulated by Kirchoff and is rather fore complicated. However, in wave-mechanics the Schrödinger equation is only first order in time, and hence the Huyghens principle in its simple form is exact.

So we take (A34) - (A36) as the precise statement of the basic laws of quantum mechanics for a single particle moving under forces specified by the Lagrangian L. No other information is needed in order to calculate the behavior of the particle.

$$\langle z_i t_i / z_i t_i \rangle = F(z_i, t_i, z_i, t_i)$$
and is given by (A35). (A38)

Lastly we define what we mean by an operator in the Feynman quantum mechanics. Let O(q,t) be any classical function of the particle's position and velocity at the time t. Then the corresponding quantum-mechanical operator is defined as the Matrix O(q,t) whose matrix element between the states $|2,t_2\rangle$ and $|2,t_1\rangle$ is given by $(2,t_1)O(q,t)|2,t_2\rangle$

where Opath (q, f) is the value of the classical function at the point where the particle is, on a particular path at time This definition (A39) holds for any two times t_1 t_2 such that

The Feynman Quantization for Field Theory

This method of quantization can now be taken over directly from particle to field mechanics. The result is equations (174) (175) of the AQM notes. The trick is just to follow precisely the table of Particle-Field analogs given on page 6. Thus instead of a sum over paths of a particle during a time-interval $t_2 - t_1$, we have a sum over histories of the field within a space-time region Ω . By a history we mean any set of functions φ (x) which are defined in Ω and take specified values φ , and φ on the boundary of Ω . We find the definitions of the field theory quantization in the AQM notes pages 52-54.

Note on notations.

For the eigenvalues of the field $\phi^*(x)$ in a particular state we use the notation $\phi'^*(x)$.

For the eigenvalues of particle coordinates q^{α} we use the notation q'^{α} .

If there is only one particle we write r_1 or r_2 instead of q'. The q' is more general as it may represent coordinates of several particles.

The Schwinger Action Principle for Particle Mechanics

We now translate the Feynman quantization rules (A35) and (A55) into a usable form in which the $\int d$ paths does not appear. The result will be the Action Principle of Schwinger, a generalization

of the classical principle of least action including information about the effects of variations which do not vanish at the end of the time-interval considered. We derive this principle here for the case of particle mechanics. The method is exactly the same for field theory and is done in the AQM notes pages 54-56.

$$S\langle r_i t_i | r_i t_i \rangle = \int d \, p \omega h, \, (i/\hbar) \, SI(p \omega h) \, \exp\left(i/\hbar) \, I(p \omega h)\right)$$

$$= (i/\hbar) \, \langle r_i t_i | SI(r_i t_i) \rangle$$

$$= (i/\hbar) \, \langle r_i t_i | SI(r_i t_i) \rangle$$
(A40)

This formula (A40) is the Schwinger Action Principle.

The operator I is the result of the double variation upon the integral (A36). The result of the variations may be computed exactly as in the classical theory, according to (A5) and (A14). So we find

$$\begin{split} \delta I = & \int_{r_{1}}^{r_{1}} \left\{ \sum_{\alpha} \left(\frac{\partial L}{\partial q^{\alpha}} - \frac{d}{dr} \frac{dL}{\partial \dot{q}^{\alpha}} \right) \delta q^{\alpha} \right\} dt \\ + & \sum_{\alpha} \left[P_{\alpha} \Delta q^{\alpha}(t_{1}) - P_{\alpha} \Delta q^{\alpha}(t_{2}) \right] - \left[H(t_{1}) \delta t_{1}^{2} - H(t_{2}) \delta t_{2}^{2} \right] \\ & (A40) \end{split}$$

For the one-particle case, Pa and H are given by (Al6) and (Al7), these expressions now all being operators.

Now what is the meaning of this double variation as applied Since the sum is over all paths, the change of the path-coordinates from $q^{*}(t)$ to $q^{*}(t) + \int_{-1}^{\infty} (t)$ change the value of the sum, except that it changes the points at which the paths are supposed to begin and end. The coordinates $q'(t) + \int q''(t)$ may be taken as integration variables instead $q^{*(t)}$. So the variation of q(t) means simply this, that each path in the sum begins at $2_2 + \delta y^{\alpha}(t_2)$ t2, and ends at γ , $\int q^{\alpha}(t)$ at time t1. So as far as this part of the variation is concerned S< 2, t, 12, t2> = <2, + 59"(t,), t, 122+59"(t2), t2>

- (2,t, 12, t2)

When to and to are also varied, it means that the sum is taken over all paths which begin at

at time to +1 to, and end at

at time to + " So we could write for the double variation

Formula (A45) is however only symbolic, because $\Delta q^*(t_i)$ is not a number but an operator depending on $q^{*}(f_{1})$. So (A45) is to be interpreted in the sense that

is the state in which the operator
$$q^{*}(t_{i}) - dq^{*}(t_{i})$$
 has the eigenvalue r1 attime t1 + $\int_{-t_{1}}^{t} dt_{1}$

Equivalence of the Schwinger Action Principle with Ordinary Quantum Mechanics

We next show how the rules of ordinary particle quantum mechanics can be deduced immediately from (A40) and (A41).

A. The Operator equations of Motion

Consider an arbitrary variation $\int_{q}^{q} (t)$ vanishing at t₁ and t₂, and take $\int_{0}^{q} t_{1} = \int_{0}^{q} t_{2} = 0$. Then by (AA2)

and by (A40)

As (A48) is true for all states $|r_1 t_1\rangle$ and $|r_2 t_2\rangle$ we have as an operator identity

$$\int_{\Omega} \mathbf{I} = \mathbf{0} \tag{A49}$$

Since $\int q^{\alpha}$ is arbitrary for $t_1 < t < t_2$, (A49) and (A41) give the operator equations

$$\sum_{i,j} \left(\frac{\partial L}{\partial q^{i}} - \frac{d}{dt} \frac{\partial L}{\partial \dot{q}^{i}} \right) = 0$$
(A50)

B. The Commutation Rules

We define

$$\psi(x,t_1) = \langle x,t_1/x_2t_2\rangle \tag{A51}$$

to be the <u>wave-function</u> of the particle in the state $|r_2|t_2$. Consider a variation with $|f_1|(t_1) \neq 0$, $|f_1|(t_2) = \int_0^t t_1 = \delta t_2 = 0$. Then (A42) gives

while (A40) and (A41) give

$$S_{\psi}(r,t_{1})=(i/\pi)\langle r,t_{1}|\sum_{x}\rho_{x}S_{q}^{*}(l_{1})|r_{1}t_{2}\rangle$$
(A53)

Therefore, since $\int q^{*}(t)$ is arbitrary

$$\langle r, t, | p_{\alpha} | r_1 t_2 \rangle = -i \hbar \frac{\partial}{\partial r_i^{\alpha}} \psi(r, t_i)$$
 (A54)

That is to say, the wave-function of the state

$$|Pa|^{\gamma_1 t_2}\rangle$$
 is $-i\hbar \frac{\partial}{\partial \eta_i} \psi(\gamma_i h_i)$ (A55)

Since every state is a linear combination of states $|r_2t_2\rangle$, we can say quite generally that $|r_3|$ operating on the state with wave-function $|r_3|$ gives the state with wave-function $|r_3|$ $|r_3|$ $|r_4|$ write this as an operator identity

$$P_{\alpha} = -i \, \tilde{h} \, \frac{\partial}{\partial z_{\alpha}} \tag{A56}$$

meaning that both sides of (A56) produce the same effect on any wave-function $\sqrt[4]{2,t}$). From (A56) we deduce in the usual way the canonical commutation rule. For every

$$\begin{bmatrix}
q^{\beta}, \rho_{\alpha} \end{bmatrix} \psi(x,t) = \left(q^{\beta} \rho_{\alpha} - \rho_{\alpha} q^{\beta}\right) \psi(x,t)$$

$$= 2^{\beta} \left(-i\hbar \frac{\partial}{\partial x^{\alpha}}\right) \psi - \left(i\hbar \frac{\partial}{\partial x^{\alpha}}\right) \left(x^{\beta} \psi\right)$$

$$= i\hbar \int_{\alpha} \psi(x,t)$$
(A57)

and hence the operator identity

$$[q^3, p_a] = i \pi \int_{AB}$$
 (A58)

C. The Schrödinger Equation.

Consider a variation with $V_{q}^{q}(t_{1}) \neq 0$, $S_{t_{1}} \neq 0$, $S_{q}^{q}(t_{2}) = S_{t_{2}} = 0$. Then (A45) gives to first order in A_{q}^{q} and $S_{t_{1}}^{q}$. $S_{q}^{q}(t_{2}) = S_{t_{2}}^{q} = 0$. Then (A45) gives to first order in A_{q}^{q} and $S_{t_{1}}^{q}$. $S_{q}^{q}(t_{1}) = S_{t_{1}}^{q} = S_{t_{1}}^{q} + S_{t_{1}}^{q} = S_{t_{1}}^{q} + S_{t_{1}}^{q} = S_{t_{1}}^{q} + S_{t_{1}}^{q} = S_{t_{1}}^{q} = S_{t_{1}}^{q} = S_{t_{1}}^{q} + S_{t_{1}}^{q} = S_{t_{1}}^{q} =$

According to (A46), the state $\{r, t \land q(t_i), t_i\}$

is defined by the eigenvalue equation

$$\left(q^{\alpha}(t_{i}) - \Delta q^{\alpha}(t_{i}) - 2_{i}\right) \left| 2_{i} + \Delta q^{\alpha}(t_{i}), t_{i} \right\rangle = 0$$
(A60)
Multiplying this equation on the left by $\left(1 + \frac{i}{n} P_{\alpha} \Delta q_{\alpha}\right)$

and using (A58),

q (t,) with eigenvalues r1.

Therefore :

Inserting this in (A59), we have

The action principle (A40) with (A41) gives $\int \psi(z,t_1) = (1/5) \langle z,t_1 | \overline{z} \rangle P_{1} \Delta_{P_{1}}(t_1) - H(t_1) f_{1} | \frac{z_1(z_1)}{(A61)}$

Comparing (A63) and (A64),

This is the ordinary Schrödinger equation in Dirac's notation. It says that for any state S with wave-function (2, 2), the state H(t)S has wave-function (2, 2). If, as usual in wave-mechanics, we identify each state with its wave-function, we obtain the usual form of the Schrödinger equation

$$H(t) \, \Psi(x,t) = i \frac{1}{2r} \, \Psi(x,t) \qquad (AGG)$$

Transition to Field Theory

We have seen how for particle mechanics the Feynman quantization process leads to the Schwinger action principle, and the action principle leads to all the usual rules of quantum mechanics. The corresponding arguments for a field theory go through in exactly the same way. The details are explained in the same way. The details are explained in the same way.

In the case of field theory, we are interested not only in deducing the usual rules of quantum mechanics from the action principle. We also want to deduce other useful consequences of

the action principle, which make this approach to quantum field theory simpler than the old-fashioned approach. Especially useful for practical applications is the Peierls commutation rule (194) of the ACM notes . This formula holds also in practical mechanics but it is of practical importante only in field theory. All the equations leading up to Eg. (194) of the ACM notes have analogs in particle mechanics. We leave it as an exercise to the reader to work these out.

Only the final section G of the AQM notes, on anticommuting fields, has no analog in particle mechanics.

On the Relation between Scattering Matrix Alexants and Cross-sections.

b7

F.J. LYSON

Ecole d'Eté de Physique Theorique, Les Houches, France

----00----

Consider a reaction or scattering process in which particles 1, 2 collide and produce the reaction products 3, 4, ...,n. For j=1, ..., n we suppose that particle j has momentum-energy 4-vector $\frac{1}{n}$ k_j the fourth component of which is $E_j/c = \frac{1}{n}K_{jo}$ where E_j is the energy. Let particle j also have internal coordinates u_j specifying what type of particle it is, and what is its state of spin or polarization.

From relativistic quantum mechanics we will usually calculate directly the part of the S-matrix or scattering operator giving rise to this reaction. The form of the S-matrix will be:

$$S = \int \dots \int d_3 k_1 \dots d_3 k_n \qquad \sum_{u_1, v_n} a_1 a_2 a_3^{**} \dots a_n^{**}$$

$$\times \int_4 (k_1 + k_2 - k_3 \dots k_n) M \qquad (1)$$

Here a_j is an absorption operator and $a_j^{\ \ \ \ \ }$ an emission operator for particle j, conveniently normalized by the prescription :

$$\langle a_{ku} \ a_{k'u'}^{u} \rangle_{0} = \delta_{3} (k - k') \quad u u'$$
 (2)

where the bracket denotes an expectation value in the vacuum state. M is the matrix element proper, a covariant function of the vectors \mathbf{k}_j and the internal coordinates \mathbf{u}_j .

One wishes to have a formula for the reaction cross-section in terms of M. Such formulae are to be found in many places in published literature, but the derivation of them is usually rather awkward. The purpose of this note is to give a simple and rigorous derivation.

Let Ω be any subset of the final state momenta, i.e. a subset of the 3(n-2) dimensional space of the 3-vectors k_3, k_4, \ldots, k_n . We denote by $\sigma(\Omega)$ the cross-section for a reaction in which the final momenta k_3, k_4, \ldots, k_n belong to Ω , the internal coordinates u_1, \ldots, u_n and the initial momenta k_1, k_2 being specified. Thus $\sigma(\Omega)$ is a function of $k_1, k_2, u_1, \ldots, u_n$ and Ω , and we wish to find the relation between $\sigma(\Omega)$ and M.

To define σ (Ω) we use an initial state Ψ_1 with the form of a wave packet :

$$\Psi_{1} = \iint d_{3}p_{1} d_{3}p_{2} \int (p_{1}, p_{2}) a_{p_{1}}^{*} u_{1} a_{p_{2}}^{*} \overline{\Psi} o \qquad (3)$$

where \overline{V}_0 is the vacuum-state and $f(r_1, r_2)$ is almost, but not quite, a product of δ -functions

$$f_{(p_1, p_2)} \sim \delta_3(p_1 - k_1) \delta_3(p_2 - k_2). \tag{4}$$

Using (2), the normalization condition for \int_{-1}^{1} , is

$$| \int_{1}^{2} |^{2} = \iint d_{3}p_{1}, d_{3}p_{2} | f(p_{1}, p_{2}) |^{2} = 1$$
 (5)

It is impossible to satisfy (5) with f equal to a real δ -function, and for this reason we use the wave-packet form for ψ . The scattered wave arising from ψ is given by

$$S \Psi_{1} = \int \cdots \int d_{3}p_{1} d_{3}p_{2} d_{3}k_{3} \cdots d_{5}k_{n} \qquad a_{3}^{*} \cdots a_{n}^{*} \Psi_{0}$$

$$\times f(p_{1} p_{2}) \delta_{4} (p_{1} + p_{2} - k_{3} \cdots k_{n}) M \qquad (6)$$

The squared modulus of (6) represents the probability of scattering from the initial state V_{\bullet} . Thus the probability for scattering into final states with momenta in Ω is given by (6) and (2), and is

In (7) we suppose M to depend only on k_1 , k_2 , ..., k_n and not on p_1 , p_2 , p_1^1 , p_2^1 since $\int and \int^{-\frac{1}{2}} are almost \delta$ -functions.

Consider now the probability W_A that in the initial state \mathbb{R}^2 the particle 2 will pass through a small area A which is travelling along with particle 1. We suppose that the velocity of 1 and 2 are in the same line (this can always be arranged by choosing a suitable reference system) and that the area A is perpendicular to this line.

If A is very small,

$$W_{A} = \int d_{3} x \int_{-\infty}^{+\infty} dt A V \int (x, x, t)$$
 (8)

where V is the relative velocity of particles 1 and 2, and $\int (x, y, t)$ is the probability density for finding particle 1 at x and particle 2 at y at the time t in the state \int_{-4}^{4} . According to (3)

and this gives with (8)

$$W_{A} = \frac{A V}{(2\pi)^{2} c} \iiint d_{3}p_{1}d_{3}p_{2}d_{3}p_{1}^{\dagger}d_{3}p_{2}^{\dagger} \quad \delta_{4} (p_{1} + p_{2} - p_{1}^{\prime} - p_{2}^{\prime})$$

$$f(p_{1}, p_{2}) f^{*}(p_{1}^{\prime}, p_{2}^{\prime}). \qquad (10)$$

The definition of the reaction cross-section is

$$\sigma(\Omega) = W(\Omega) \left(A/W_1 \right) \tag{11}$$

It is the reaction probability in the state Ψ_4 , divided by the probability for the two particles to pass within unit area of each other. Comparing (7) with (10)

$$\sigma(\Omega) = (2\pi)^{2} \frac{c}{\sqrt{2}} \int_{\Omega} d_{3}k_{3} \dots d_{3}k_{n} \qquad \delta_{4}(k_{1} + k_{2} - k_{3} \dots k_{n}) | M|^{2}$$

$$= (2\pi)^{2} \frac{1}{\sqrt{2}} \int_{\Omega} d_{3}k_{3} \dots d_{3}k_{n-1} \quad \delta(E_{1} + E_{2} - E_{3} \dots - E_{n}) | M|^{2}$$
(13)

The required formulae for ((12) are (12) and (13). In (13) it is

implied that k_n , E_n be expressed as functions of k_3 , ..., k_{n-1} by using the equation of momentum conservation.

For the case of a reaction with only two products (n=4) the formulae may be simplified. In this case we may define an ordinary differential cross-section Ω by taking for Ω the set of final states in which the direction of the outgoing particle 3 lies in a given small solid angle Ω . Given Ω , the magnitude of k_3 , k_4 , k_5 , k_6 are fixed by momentum and energy conservation. Let us work in the centre of mass system so that $|k_3| = |k_4|$. Then (15) becomes

$$\sigma = (2\pi)^{2} \frac{\pi^{2}}{\sqrt{2}} |\mathbf{x}_{3}^{2}| |\mathbf{M}|^{2} \int S(\mathbf{E}_{1} + \mathbf{E}_{2} - \mathbf{E}_{3} - \mathbf{E}_{4}) d\mathbf{k}_{3} d\mathbf{\Omega}$$

$$= \frac{(2\pi)^{2}}{\sqrt{2}} \frac{K_{3} E_{3} E_{4}}{E_{3} + E_{4}} |\mathbf{M}|^{2} \mathbf{L} \mathbf{\Omega}$$

$$= \frac{(2\pi)^{2}}{\sqrt{2}} \frac{K_{3} E_{3} E_{4}}{E_{3} + E_{4}} |\mathbf{M}|^{2} \mathbf{L} \mathbf{\Omega}$$
(14)

Remembering that V is the relative volocity in the initial state, the relative velocity in the final state is

$$V' = \frac{1}{12} c^2 k_3 (E_3 + E_4) / E_3 E_4$$

Therefore we have the compact formula for the differential cross-section

$$\sigma d\Omega = \frac{c^2}{VV'} (2 \pi k_3)^2 |M|^2 d\Omega.$$
 (15)

If the two initial particles are identical, or if some of the final particles are identical, all these results remain valid without change, provided that in formula (1) the integrals are restricted so that

each physically distinguishable state is counted only once. For example, if particles 1 and 2 are identical we shall 1 sum over pairs of values $(k_1, u_1, k_2 u_2)$ in (1), taking $(k_1 u_1, k_2 u_2)$ and $(k_2 u_2, k_1 u_1)$ to be the same pair so that one and not both is included. This corresponds to the usual practice in such cases, when M is calculated as a matrix element between two physical states containing identical particles.

Reference:

1.C. MøLLER, Kgl. Dansh. Vidensh. lsk. Mat.-Fys. Medd. 25, 1 (1945). The formulae in question are equations (91) and (96), the derivation occupies pages 18-24.

RENORMALISATION

Ecrivons la densité de lagrangien qui donne les équations de mouvement des champs interagissant.

ce qui inclut un champ électromagnétique externe, décrit par \hat{A}^{ϵ} pour lequel nous supposons $\frac{\partial \hat{A}^{\epsilon}_{\mu}}{\partial x_{\mu}} = 0$, et le terme supplémentaire $-\frac{1}{2}\lambda(\frac{\partial \hat{A}_{\mu}}{\partial x_{\mu}})^{2}$, on introduit le facteur λ dans le deuxième terme, ce qui ne produit pas d'effet sur les états physiques à cause de la condition supplémentaire de Fermi.

Nous supposons maintenant comme hypothèse de travail que les champs ayant des éléments de matrice finis entre les états physiques ne sont pas ceux qui figurent dans le lagrangien, mais des champs proportionnels:

$$A_{\mu}(x) = Z_3^{-1/2} \hat{A}_{\mu}(x)$$

$$A_{\mu}^{e}(x) = Z_3^{-1/2} \hat{A}_{\mu}^{e}(x)$$

qui se transformeront eux aussi comme un potentiel électro-magnétique à la fois pour les transformations de Lorentz et celles de Jauge.

On ne peut prendre A_{μ} : \hat{A}_{μ} . On sait, en effet, que les éléments de matrice de \hat{A}_{μ} sont divergents calculés à l'ordre e². Pour $A^{e}(x)$, la constante de proportionalité doit être la même que pour A(x) à cause

de l'arbitraire qu'il y a dans la distinction entre un champ A_{μ} et un champ extérieur.

$$\Psi(x) = Z_2^{-\nu_2} \stackrel{\wedge}{\psi}(x)$$

$$\overline{\psi}(x) = Z_2^{-\nu_2} \stackrel{\wedge}{\overline{\psi}}(x)$$

On a choisi Z_2 (ainsi que les autres Z) réel. Nous verrons par la suite que ce choix est possible en raison de l'expression de Z_2 en fonctions des constantes (e, m).

Les nouveaux champs sont appelés champs renormalisés. Le fait qu'ils ont des éléments de matrice finis sera vérifié après coup.

On renormalise également la charge et la masse par les formules $\hat{e} = Z_1 Z_2^{-1} Z_3^{-1/2} e$ dont l'interprétation est donnée par la formule $\hat{e} \uparrow \hat{\varphi} \hat{\psi} = Z_1 e \not \psi A \psi$, et la nouvelle masse est donnée par $\hat{\mu} = \mu (1 - Z_2^{-1} \gamma)$ ce qui donne

$$k_c \hat{\overline{\psi}} (y_\mu \frac{\partial}{\partial x_\mu} - \hat{\mu}) \hat{\psi} = k_c Z_2 \hat{\gamma} (y_\mu \frac{\partial}{\partial x_\mu} - \mu) \psi - k_c Y_\mu \hat{\psi} \psi$$
ce qui donne l'interprétation de $\hat{\gamma}$.

Représentation d'interaction.

On aura une interprétation d'interaction en séparant dans L les deux parties

$$L = L_0 + L_1$$

L_O étant le lagrangien des champs libres renormalisés avec les constantes renormalisées

$$L_{o} = - \pi c \overline{\Psi} \left(8 \mu \frac{\partial}{\partial x \mu} - \mu \right) \Psi - \frac{1}{4} F_{\mu\nu} F_{\mu\nu} - \frac{1}{2} F_{\mu\nu} F_{\mu\nu}^{e} - \frac{1}{4} F_{\mu\nu}^{e} F_{\mu\nu}^{e} - \frac{1}{4} \left(\frac{\partial \Lambda_{\mu}}{\partial x \mu} \right)^{2}$$

avec
$$C = Z_3 - 1$$
, $B = Z_2 - 1$, $L = 1 - Z_1$.

On a choisi la constante λ = Z_3 - 1 de façon à faire disparaître dans L₁ le terme $-\frac{1}{2}(\lambda Z_3 - 1)(\frac{\partial A_F}{\partial x_B})^2$. Ce choix, s'il n'est pas nécessaire, simplifie l'expression; c'est pourquoi on avait introduit le terme en A.

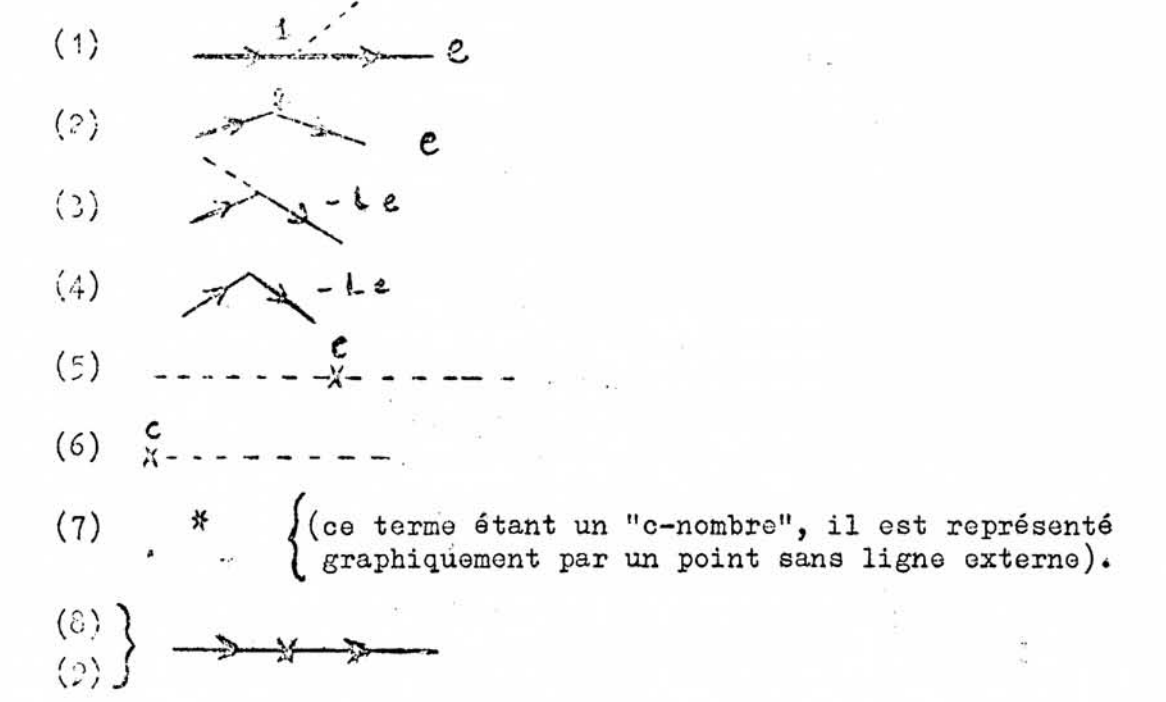
On voit maintenant qu'on a 9 termes au lieu des 2 premiers dans le lagrangien d'interaction es 7 termes supplémentaires étant des contretermes dont les coefficients seront choisis de façon que dans le calcul l'un processus donné à n'importe quel ordre, les divergences provenant des temes 1 et 2 soient éliminéeset qu'il ne reste que des parties finies provena de l'interaction 1 et 2.

Pour traiter un exemple, examinons les éléments du 2ème ordde la matrice de diffusion d'un électron par un potentiel Ae. On cherch les éléments de matrice qui contiennent (A)² A^e.

Terme de L1	Diagramme	Contribution à M
(1, 2)	1 1	$M_2^1 + L_2 M_0$
2	2	₩o
(1, 2)	201	$M_2^2 + C_2 M_0$
(1, 2)	1 2	(½ _m M _O) + B ₂ M ₀
(4)	No.	- L M _O

$$(8.2) \qquad -(Y M_0) \\ -B M_0 \\ (4.6) \qquad 66---- \\ -C_2 M_0$$

On a formé sinsi tous les termes du 2ème ordre que l'on pouvait former avec les éléments de L₁, en remarquant que les termes 3 et 5 ne contribuement parce que les constantes C et L sont déjà d'ordre e² au moins, et que 7 ne contribue rien parce qu'il représente l'action du champ extérieu action doux fois. Il suffit pour voir comment est formé le diagramme cidenais de se souvenir du diagramme élémentaire correspondant à chaque facteu de se souvenir du diagramme élémentaire correspondant à chaque facteu de



Indiquons le calcul des éléments de matrice qui figurent dans le tableau. Le calcul des éléments correspondant à l'interaction 1, 2 a déjà ét fait antérieurement. Deppelons brièvement leur forme.

lément de matrice est de la forme

$$M \simeq e \mu \left(\bar{u} \int \frac{dk}{k^2} \chi_{\alpha} \frac{1}{\mu \cdot k \cdot i \mu} \chi_{\mu} \frac{1}{\mu \cdot k \cdot i \mu} \chi_{\alpha} \right)$$
qui diverge logarithmiquement et que l'on peut écrire sous la forme

la partie finie M_2^1 étant définie par le fait que M_2^1 = 0 pour $p = p' = p_0$, moment d'une particule libre, parce que nous voulons définir le terme M_0 comme comprenant toute la diffusion observée dans la limite des très petits transferts de moment.

La parenthèse signifie que l'on n'a pas un véritable multiple de $M_{\tilde{Q}}$ par un constante.

$$q = \int_{1}^{4+q} ds \frac{1}{q!} \left(\bar{u}' y_{n} u \right) T_{n} \left(y_{n} \frac{1}{s+q-i} \right) e^{\frac{1}{x-i}\mu}$$

$$= \int_{1}^{4+q} ds \frac{1}{q!} \left(\bar{u}' y_{n} u \right) T_{n} \left(y_{n} \frac{1}{s+q-i} \right) e^{\frac{1}{x-i}\mu}$$

$$= \int_{1}^{4+q} ds \frac{1}{q!} \left(\bar{u}' y_{n} u \right) T_{n} \left(y_{n} \frac{1}{s+q-i} \right) e^{\frac{1}{x-i}\mu}$$

Il nous reste à calculer les termes correspondant aux processus (4), (8, 2), (9, 2), (1, 6).

Pour (4), l'expression est évidemment – L M_O .

(8, 2) donne

que nous désignons par la notation - (YM_0). La parenthèse signifie comme

précédemment que l'on n'a pas un multiple de Mo par une constante; mais dant tous les cas, la compensation avec le terme \mathcal{I}_m aura lieu si l'on prend pour \mathcal{I} le développement que l'on indique en fonction de la constante de couplage.

Contribution de 9, 2.

er effor, les considérations développées antérieurement dans le cours montrent que l'on doit attribuer au produit $(\not p-i\not \mu)$ la valeur $\frac{1}{2}$.

Caloul du tarme 1, 6.

En passent dans l'espace des moments en remplaçant

$$\begin{array}{lll}
 & \stackrel{\cdot}{\overset{\cdot}{\overset{\cdot}{\circ}}}(x) & = & \int d \ q & e_{v} \ (q) \ e^{i q x} \\
 & \stackrel{\cdot}{\overset{\cdot}{\circ}}(x) & = & \int d \ q & e_{v} \ (q) \ e^{i q x} \\
 & \stackrel{\cdot}{\overset{\cdot}{\circ}}(x) & = & \int d \ q & e_{v} \ - & e_{v} \ e_{u} \) (q_{\mu} \ \int_{Vu} \ - q_{v} \ \int_{\mu u} \) \frac{1}{q^{2}} \ (\overline{u} \ \chi_{u} \ u') \\
 & = & C \ \left[q^{2} \ e_{u} \ - e \cdot q \ q_{u} \right] \frac{1}{q^{2}} \ (\overline{u} \ \chi_{u} \ u') \\
 & = & \frac{C}{q^{2}} \ \left[q^{2} \ (\overline{u} \ \not e \ u') \ - \ (e, q) \ (\overline{u} \not q \ u') \right]
\end{array}$$

Si l'électron est libre, on a $\bar{u} \not q u' = 0$ à cause de l'équation de Dirac. Donc $M = (C M_0)$, (la parenthèse ayant toujours la même signifaction que précédemment), c'est à dire qu'il faudra prendre $C = \frac{C_2}{2} + \dots$ Finalement, on aura donc une éliminations des divergences du 2ème ordre

si l'on suppose que les coefficients L, B, Y, C ont respectivement pour

terme la force ordre du développement en e

$$\{ \cdot, \cdot \cdot \cdot \cdot \}_{2}, \{ \cdot, \cdot \cdot \}_{2} \dots$$

Nuveriant de page de la théorie.

Lo lagrangion doit être inchangé lors de la transformation

A étant une description arbitraire (c-nombre), e étant la charge expériment de la charge description de charge description de charge expérimentale.

Cut the to linvariance.

in progression initial était invariant pour la transformation

Le nouveau lagrangien some done invariant dans la transformation

, si on prend
$$\hat{\Lambda} = Z_3^{-\frac{1}{2}} \Lambda$$
.

 $\Lambda_{\mu} \rightarrow \Lambda_{\mu} + \frac{\partial A}{\partial x_{\mu}}$, puisque $\hat{A}_{\mu} = Z_3^{-\frac{1}{2}} A_{\mu}$.

La condition d'invariance de jauge est donc

Fuisque $\hat{e} = Z_1 Z_1^{-1} Z_3^{-1/2} e$.

$$Z_2 = \mathbb{Z}_{\ell}$$

ou B + L = 0 , identité de Ward.

Lorsqu'on fait le calcul par la méthode des perturbations, on trouve effectivement B + L = 0.

Possibilité de reportalisation à tous les ordres.

L'interaction originale étant $\psi \not\perp \psi + \psi \not\mid e \psi$ que nous appellerons l'orétateur 0,

- 1) nous nous proposons d'examiner l'élément de matrice le plus général que l'on peut former avec 0,
- 2) d'examiner son type de divergence,
- 3) de vérifier terme à terme que l'en peut l'éliminer par un des éléments d contre-terme, c'est à dire que l'en a introduit suffisemment de constantes infinies dans la thécrie.

L'élément de matrice \mathbb{M}_{G} le plus général est

$$\mathbb{M}_{G} = \iint d \mathbf{x}_{1} \cdots d \mathbf{x}_{m+n} P \left[\overline{\psi} \not A \psi(\mathbf{x}_{1}) \cdots, \overline{\psi} \not A \psi(\mathbf{x}_{n}), \overline{\psi} \not A^{e} \psi(\mathbf{x}_{n+1}) \cdots \overline{\psi} \not A^{e} \psi(\mathbf{x}_{m+n}) \right]$$

Le diagramme G correspondant à (m+n) sommets, dont in avec 2 lignes d'électrons et 1 de photon m avec 2 lignes d'électrons et 0 de photon

L'expression de l'élément de matrice M_G est donné dans l'espace des moment par les règles de Feynman comme le produit des facteurs suivants :

ligne électronique interne $\frac{1}{k + j} - i\mu$ variables $k \neq j$ ligne électronique externe spineurs $u \neq j$ ou $\bar{u} \neq j$, ligne de photon externe $e \neq j$ potentiel de champ externe $\neq (q_j)$.

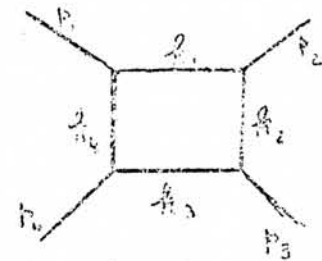
Pour chaque sommet, on a d'une part le facteur χ_{μ} , d'autre part une variable x_i telle qu'en effectuant l'intégration \int d x_i on ait le résultat $\int_{\zeta} (k+k'-p)$ qui exprime la conservation des quadrimoments.

On aura alors à effectuer les intégrations sur les moments $\int \dots \int dk_1 dk_2 \dots dq_1 \dots dq_f$

l'intégration, sur les variables correspondant à des lignes internes, étant des intégrales au sens de Feynman.

Examinons maintenant les types de divergence :

Les fonctions $\begin{cases} 4 & \text{pour les m} + \text{n sommets permettent l'élimination} \\ \text{de m} + \text{n} - \text{1 variables} & \end{cases}$ en fonction des autres . Par exemple, si G a la forme indiquée, on a



$$k_{2} = k_{1} - p_{2}$$

$$k_{3} = k_{1} - p_{2} - p_{3}$$

$$k_{4} = k_{1} - p_{2} - p_{3} - p_{4}$$

la dermière fonction 4 donne uniquement

$$\underline{k}_1 = \underline{k}_1 - p_1 - p_2 - p_3 - p_4$$

ou
$$p_1 + p_2 + p_3 + p_4 = 0$$
.

Si l'on désigne par

I e nombre de lignes électroniques internes,

I photoniques internes,

O_e " électroniques externes,

O_ " photoniques externes,

 $O_{_{\mathbf{V}}}$ le nombre de sommets où agit $\mathbf{A}^{\mathbf{e}}$,

le nombre de variables d'intégration qui reste après l'élimination par les fonctions est

$$I_e + I_p - m - n + 1,$$

et l'intégrale est de la forme

$$\int \dots \int d_4 k_1 \dots d^4 k_f \int_{1e} (k_j - i\mu)^{-1} \int_{TM} (k_j)^{-2}$$

Pour commencer, analysons d'abord de manière formelle en comptant les puissances la convergence de l'intégrale à l'infini. La différence entre le "degré" du numérateur et du dénominateur est $4 F - (I_e + 2 I_M)$

Une condition suffisante en général de divergence de cette intégrale est

(On ne pourrait avoir convergence dans ce cas que par une suppression particulière de tel ou tel diagramme). Elle signifie simplement que le degré du
numérateur est égal ou supérieur à celui du dénominateur. Ceci s'écrit encore

$$4m + 4n \le 3I_e + 2I_n + 4$$
.

On peut exprimer ce résultat en fonction uniquement des lignes externes par des relations géométriques entre les sommets et les lignes internes.

Chaque sommet $\overline{\Psi}$ \not \downarrow ψ a 2 lignes électroniques, 1 ligne photonique; chaque sommet $\overline{\Psi}$ \not \swarrow ψ a 2 lignes électroniques, mais A^e y agit.

En comptant le nombre total de lignes d'électrons, on a $2(m+n) = 2I_e + 0_e$,

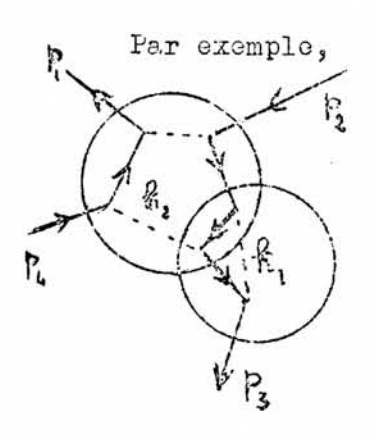
le nombre total de lignes de photons, $n = 2 I_{Tl} + O_{JI}$, le nombre d'opérateurs A^{e} $O_{v} = m$.

En remplaçant I_e et I_m par leur valeur tirée de ces expressions, et en reportant dans la relation 4 (m + n) ≤ 3 I_e + 2 I_m + 4, on obtient :

 $\frac{3}{2}$ 0 + 0, +0, 4 . (Il convient de remarquer que 0 est toujours pair.) Donc la divergence totale est controlée par le nombre de lignes externes seulement, et non par le nombre de lignes internes, donc la théorie est renormalisable.

Remarquo.

Ces résultats sont valables pour la divergence totale par rapport à l'ensemble des variables, mais l'analyse générale resto complexe.



la ligne commune aux deux cercles appartient à l'intégration sur k_1 et sur k_2 . Pour l'intégrale totale, $0_0 = 4$ $0_1 + 0_2 = 0$ \Rightarrow 6, l'intégrale est convergente.

Intégration sur k, seule dans le sous-diagramme correspondant,

$$0_e = 2$$
 $0_{\overline{m}} = 1 \longrightarrow 4$ intégrale divergente.

Intégration sur k2 seul

$$O_{(?)} = 2$$
 $O_{(?)} = 4 \longrightarrow 7$ intégrale convergente.

La condition de convergence est en fait que

$$\frac{3}{2}$$
 $0_{\rm e}$ + $0_{\rm h}$ + $0_{\rm v}$ 5 pour tout sous-diagramme. Rappelons que cette condition signifie que le degré du numérateur est supérieur au degré du dénominateur.

Nous allons maintenant démontrer que pour notre problème spécial, ceci donnera la convergence ; en effet notre intégrale I a les propriétés suivantes :

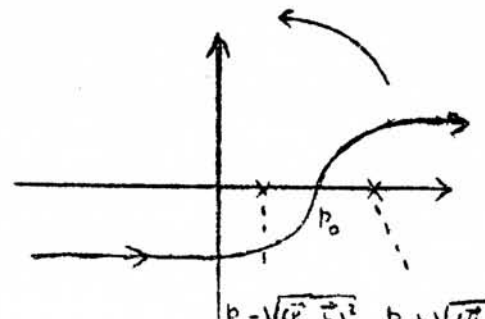
1.
$$I = \int \frac{G(k)}{F(k)} c_4 k$$
 F et G étant des polynomes;

- 2. la différence de degré entre F(k) et G(k) étant au moins égale à 1,. F(k) est un produit de facteurs $(k-p)^2$ provenant d'une ligne de photon et de facteurs $(k-p')^2 + m^2$ (ligne d'électron).
- 3. L'intégrale est prise au sens de Feynman sur les pôles.

Démonstration: On commence par l'intégration sur la composante k du quadrivecteur. Les pôles sont alors sur l'axe réel. Considérons d'abord le cas où toutes les paires de pôles conjuguées sont de part et d'autre de l'origine. L'intégrale de Feynman est alors suivant le contour indiqué, et l'intégrale se ramène immédiatement à une intégration sur

l'axe imaginaire où il n'y a pas de pôles; la condition sur la différence des degrés de G et de F assure la convergence.

Si certains pôles sont tous deux du côté de l'origine (pôles déplacés) ceci impose pour le vecteur k l'inégalité $(\vec{k}-\vec{p})^2 \leqslant p_0^2$, ce qui limite



le domaine de l'intégration du trivecteur k.

L'intégration sur les résidus qui apparaissent
lors de la rotation du contour de Feynman
donne alors une contribution finie.

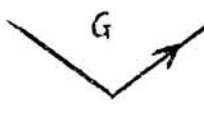
 $|P_0-\sqrt{(k-p)^2}|P_0+\sqrt{(k-p)^2}|$ Ecrivons alors les types possibles de diagrammes divergents en donnant à O_e , O_{π} et O_v les valeurs compatibles avec la relation

$$\frac{3}{2}$$
 $^{\circ}_{e}$ + $^{\circ}_{\eta}$ + $^{\circ}_{v} \leq 4$

rgence
→ ○→
٨
0
b
) X (

La divergence est nulle d'après le théorème de Furry (voir plus loin) ainsi que --- par l'application du théorème de Furry et de la conservation du moment.

Etudions l'énergie propre du vide 🖨 etc. (G1)



Ce diagramme intervient dans un diagramme total comme une partie séparée du reste, et par conséquent il n'y a

pas de variables d'intégration commune à cette partie du diagramme et au reste du diagramme (G), donc

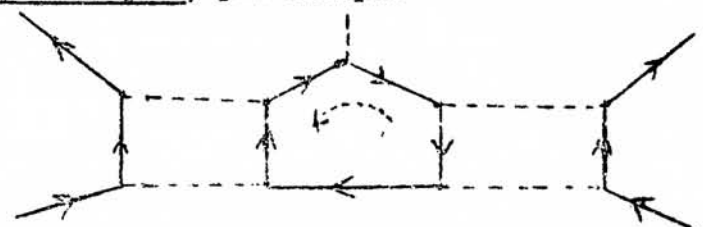
$$M_{G+G_1} = M_{G_1} \cdot M_{G_1}$$

$$G_1$$
 ainsi $\sum M = (\sum_G M \text{ connexe}) (\sum M_{G_1}) = A (\sum M_G \text{ connexe})$

A est une constante qui représente l'énergie du vide. L'état physique du vide à l'énergie E_0 , qui serait libérée si l'interaction des champs cessait : $A = e^{i E_c^t} \int_{-\infty}^{\infty} dt \quad \text{est un facteur de phase constant qui provient du changement d'échelle d'énergie, mais ceci n'a pas d'effet observable. On aurait pu l'éliminer en introduisant un 10ème terme dans <math>L_T$.

Théorème de Furry.

Pour toute partie du diagramme qui n'est reliée au reste que par des lignes photoniques, par exemple



il y a deux orientations possibles pour la ligne électronique fermée; si M et M' désignent leurs contributions partielles, 1 le nombre de lignes photoniques, on a :

$$M' = (-1)^{1} M.$$

Prenons le cas simple

$$\begin{array}{c}
A - b - c \\
A - b \\
A$$

Mais $\operatorname{Tr}\left[A \ B \ C \ D\right] = \operatorname{Tr}\left[D^{\operatorname{tr}} \ C^{\operatorname{tr}} \ B^{\operatorname{tr}} \ A^{\operatorname{tr}}\right] = \operatorname{tr}\left[D^{\operatorname{X}} \ C^{\operatorname{X}} \ B^{\operatorname{X}} \ A^{\operatorname{X}}\right]$

D'autre part $X = \pm X_{\mu}$.

Comme $\operatorname{Tr}\left[y_i \ \ \ \ \ \ \ \ \ \ \ \ \ \ \ \right] = 0$, à moins que tous les indices soient les mêmes, cu égaux 2

Tr [A B C D] = Tr [D C B A] pour des matrices de Dirac.

M' = ...
$$\int ds \, Tr \left[\frac{1}{s'-i\mu} \bigvee a_{-s'-b'-c'-i\mu} \bigvee c \frac{1}{-s'-b'-i\mu} \bigvee b \right]$$

Maintenant

$$\frac{1}{-\beta - \frac{1}{2} - \frac{1}{2}} = \frac{1}{2} = \frac{1}{2}$$

d'où

$$N' = \cdots \int ds \operatorname{Tr} \left[\sqrt[3]{\frac{1}{\beta - i}} \sqrt[3]{\frac{1}{\beta + i}} \sqrt[3]{\frac{1}{\beta + \beta + \beta - i}} \sqrt[3]{\frac{1}{\beta + \beta + \beta - i}} \sqrt[3]{\frac{1}{\beta + \beta + \beta - i}} \sqrt[3]{\frac{1}{\beta + \beta -$$

Le fait essentiel dans la démonstration est que l'interaction à un sommet anticommute avec 3 5 .

Ainsi si l est impair : M = - M'.

On ne doit donc pas considérer les diagrammes avec un nombre impair de lignes photoniques.

(Erretum page 14)

Caci ne diffère plus de M que par le signe de b, c, aux dénominateurs.

Mais s étant une variable d'intégration

$$M' = \cdots \int ds \left[\frac{1}{-\not s - i\mu} \bigvee_a \frac{1}{-\not s - \not s - \not s - i\mu} \bigvee_c \frac{1}{-\not s - i\mu} \bigvee_b \right]$$

Le théorème de Furry nous laisse pour seuls diagrammes divergents les 4 types suivants :

L. D. T. D. T. L. D. T.	್ಕ	o _e	degré total	de la divergence
A. Energie propre du photon	2	0		quadratique
B. Diffusion de la lu- mière par la lumière	4	0);Q((hogarithmique
C. Vertex part	1	2	D	logarithmique
D. Energie propre de l'électron	0	2	→O→	linéaire

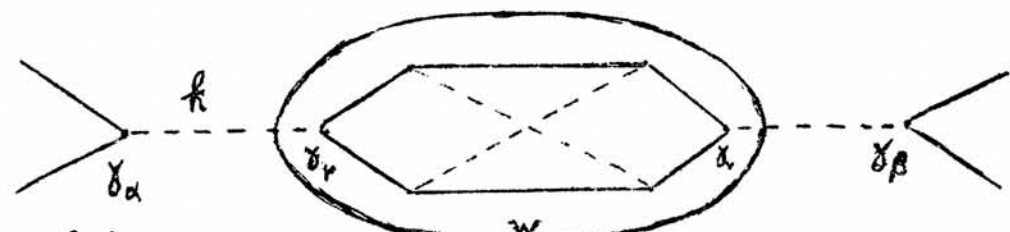
Ainsi, il est maintenant facile de caractériser, par simple inspection de la manière dont elle se rattache au reste du diagramme, le degré de divergence d'une partie intérieure, ou celle du diagramme total, en dénombrant le nembre de ses lignes externes. Nous allens faire usage systématiquement de ces propriétés dans ce qui suit.

Il faut maintenant définir le procédé permettant d'obtenir les parties finies correspondantes aux quatre types de divergence A, B, C, D. C'est ce que nous allons examiner. Nos arguments seront essentiellement basés sur la nature tensorielle des quantités étudiées et sur le degré de la divergence. Nous supposerons toujours que nous étudions des diagrammes dont on a su éliminer les divergences correspondantes à des parties entièrement contenues à leur intérieur. Nous supposerons que ces soustractions ont déjà été effectuées.

A. ENERGIE PROPRE DU PHOTON

Exemple de diagramme.

L'opérateur d'interaction qui agit à chaque sommet étant Ψ Å ψ ,



Soit {s} l'ensemble des variables internes associées aux intégrations de W.

Le forme de l'élément de matrice M est la suivante :

M =
$$\begin{cases} \text{facteurs externes à W, pouvant} \\ \text{comprendre par exemple l'inté-} \\ \text{gration sur la variable de mo-} \\ \text{ment k} \end{cases} \frac{\int_{\mu \alpha} \frac{\int_{\nu \beta} \left(M_{\nu}\right)}{k^{2}} \frac{\left(M_{\nu}\right)}{k^{2}} e^{-\frac{1}{2} \left(M_{\nu}\right)} e^{-\frac{1}{2} \left(M_{\nu}\right$$

 $\mathbf{M}_{\mathbf{w}}$ est ainsi un tenseur dont il est facile de prévoir la forme

$$M_{W} = \left\{ \iiint \dots \left(ds \frac{1}{\sharp + \sharp - i \mu} \right) \right\} \chi_{\mu} \chi_{\nu}.$$

$$(M_{W})_{\mu\nu} = \int ds W_{\mu\nu}(s, k)$$

Si W a n sommets, il y a : n lignes électroniques internes (2 $I_e = 2 n$)

puísque $O_e = 0$,

$$\frac{n-2}{2}$$
 lignes photoniques internes ($2I_p = n-2$, puisque $0_p = 2$).

Il y a ainsi $\frac{n}{2}$ variables de moments internes indépendantes et $\mathbb{W}_{\mu\nu}$ a la forme d'une fraction rationnelle dont le numérateur est les différentielles de n/2 variables de moments, le dénominateur étant de degré (n) + (n-2) = 2n-2 à cause des facteurs de propagation $\int \frac{1}{s^2}$ pour les électrons.

On extrait une partie finie de l'intégrale totale qui est quadratiquement

On extrait une partie finie de l'intégralé totale qui est quadratiquement divergente en prenant le développement de Taylor de V(s,k) autour de

$$\begin{array}{l} k = 0 \\ \mathbb{W} (s, k) = \mathbb{W} (s, 0) + k_{\ell} \left[\frac{\partial}{\partial k_{\alpha}} \mathbb{W} (s, k) \right]_{k=0} \\ + \frac{1}{2} k_{\alpha} k_{\beta} \left[\frac{\partial^{2}}{\partial k_{\alpha} \partial k_{\beta}} \mathbb{W} (s, k) \right]_{k} \\ + \dots \\ \mathbb{A}lors \\ \int ds \left[\mathbb{W}(s, k) - \mathbb{W} (s, 0) - k_{\alpha} \left(\frac{\partial}{\partial k_{\alpha}} \mathbb{W} (s, k) \right)_{k=0} - \frac{1}{2} k_{\alpha} k_{\beta} \left(\frac{\partial^{2}}{\partial k_{\alpha} \partial k_{\beta}} \mathbb{W} (s, k) \right)_{k=0} \\ + \dots \\ \mathbb{E} \left[\mathbb{W}(s, k) - \mathbb{W} (s, 0) - k_{\alpha} \left(\frac{\partial}{\partial k_{\alpha}} \mathbb{W} (s, k) \right)_{k=0} \right]_{k=0} \\ + \dots \\ \mathbb{E} \left[\mathbb{W}(s, k) - \mathbb{W} (s, 0) - k_{\alpha} \left(\frac{\partial}{\partial k_{\alpha}} \mathbb{W} (s, k) \right)_{k=0} \right]_{k=0} \\ + \dots \\ \mathbb{E} \left[\mathbb{W}(s, k) - \mathbb{W} (s, 0) - k_{\alpha} \left(\frac{\partial}{\partial k_{\alpha}} \mathbb{W} (s, k) \right)_{k=0} \right]_{k=0} \\ + \dots \\ \mathbb{E} \left[\mathbb{W}(s, k) - \mathbb{W} (s, 0) - k_{\alpha} \left(\frac{\partial}{\partial k_{\alpha}} \mathbb{W} (s, k) \right)_{k=0} \right]_{k=0} \\ + \dots \\ \mathbb{E} \left[\mathbb{W}(s, k) - \mathbb{W} (s, k) - \mathbb{W} (s, k) - \mathbb{W} (s, k) \right]_{k=0} \\ + \dots \\ \mathbb{E} \left[\mathbb{W}(s, k) - \mathbb{W} (s, k) - \mathbb{W} (s, k) - \mathbb{W} (s, k) \right]_{k=0} \\ + \dots \\ \mathbb{E} \left[\mathbb{W}(s, k) - \mathbb{W} (s, k) - \mathbb{W} (s, k) - \mathbb{W} (s, k) \right]_{k=0} \\ + \dots \\ \mathbb{E} \left[\mathbb{W}(s, k) - \mathbb{W} (s, k) - \mathbb{W} (s, k) - \mathbb{W} (s, k) \right]_{k=0} \\ + \dots \\ \mathbb{E} \left[\mathbb{E} \left[\mathbb{W}(s, k) - \mathbb{W} (s, k) - \mathbb{W} (s, k) - \mathbb{W} (s, k) \right]_{k=0} \\ + \dots \\ \mathbb{E} \left[\mathbb{E} \left$$

En effet, comme nous pouvons le voir par un raisonnement qui nous servira pour les autres cas, le reste du développement de Taylor est propor-

tionnel à
$$\frac{1}{6} k_{\alpha} k_{\beta} k_{\beta} \left[\frac{\partial^{3}}{\partial k_{\alpha} \partial k_{\beta} \partial k_{\gamma}} \right] k = \overline{\hat{\xi}}$$

Résumons :

- 1. Le degré de divergence de la s-intégration totale (sur toutes les variables s ensemble) est réduit de 3 puissances de s comme résultat de la soustraction ; cela suffit à rendre l'intégrale convergente.
 - 2. Le degré de divergence de n'importe quelle sous-intégration sur

certaines des s-variables ne sera pas en général réduit par la soustraction, parce que ces s-variables peuvent ne pas se présenter combinés avec k dans l'intégrande. Cependant, il ne peut pas être augmenté par la scustraction. Par hypothèse, toutes ces sous-intégrations ont été rendues convergentes auparavant, elles resteront donc convergentes après la nouvelle soustraction.

On sait à priori que l'élément de matrice est un invariant relativiste, ce qui va nous permettre de préciser sa structure. A ce stade, on a

$$M_{\mu\nu}(W) = M_{\mu\nu}^{\text{fini}}(W) + \int ds W_{\mu\nu}(s, 0) + \int ds k_{\mu} \left(\frac{\partial}{\partial k_{\mu}} W_{\mu\nu}(s, 0)\right) + \frac{1}{2} \int ds k_{\mu} k_{\mu} \left(\frac{\partial}{\partial k_{\mu}} W_{\mu\nu}(s, 0)\right) + \frac{1}{2} \int ds k_{\mu} k_{\mu} \left(\frac{\partial}{\partial k_{\mu}} W_{\mu\nu}(s, 0)\right)$$

$$= M_{\mu\nu}^{\text{fini}}(W) + A \int_{\mu\nu} k_{\mu} T_{\mu\nu} + \frac{1}{2} k_{\mu} k_{\beta} T_{\alpha\beta\mu\nu}. \quad (2)$$

A átant une constante.

 $T_{d\mu\nu} = \int ds \left[\frac{\partial}{\partial k_{d}} W_{\mu\nu} (s k) \right]_{k=0}$ est un tenseur du 3ème ordre indépendant de k, donc nu

La forme générale de ce tensœur constant serait

Table = Copple + Double for + E far objet F Eable value of C, D, E, F, des constantes où $\mathcal{E}_{\mathcal{A}\beta}$ and $\mathcal{E}_{\mathcal{A}\beta}$ est le tenseur du 4ème ordre complètement antisymmétrique. Mais la symmétrie en \mathcal{A} entraîne $\mathcal{F} = 0$, $\mathcal{D} = \mathcal{E}$, d'où :

L'invariance de jauge va nous permettre de découvrir une propriété supplémentaire des coefficients.

Supposons qu'à l'une des extrémités de W agisse le pseudo-potentiel

L'élement de matrice, d'une part, doit être nul, d'autre part, est égal à $k \leftarrow \binom{\mathbb{M}_{W}}{k} \vee \cdot$

On doit done avoir :

$$k \mu k_{\mu \nu}^{fini}(w) + A k_{\nu} + (1 ck^{2}) k_{\nu} + (0 k^{2}) k_{\nu} = 0$$

Mais pour k au voisinage de C, k = v est certainement d'ordre k^3 au moins; on l'a, en effet, construit en soustrayant les deux premiers termes du développement de Taylor.

On a donc une identité algébrique terme à terme jusqu'au terme en k².

Donc
$$\begin{cases} A \equiv 0 \\ D = -\frac{1}{2} C. \end{cases}$$

D'autre part la forme du tenseur $M_{\mu\nu}^{fini}(w)$ est

$$\mathbb{M}_{\mu\nu}^{\text{fini}}(\mathbf{w}) = \mathbb{F}(\mathbf{k}^2) \, \delta_{\mu\nu} + \mathbb{G}(\mathbf{k}^2) \, \mathbf{k}_{\mu} \, \mathbf{k}_{\nu} .$$

On doit avoir aussi $k_{\mu} M_{\mu \nu}^{\text{fini}} = 0$, d'où l'on déduit :

$$\mathbb{F}(\mathbf{k}^2) = -0 (\mathbf{k}^2)$$

Ainsi
$$M_{\mu\nu}^{fini}(w) = F(k^2) \left[(\mu_{\nu} k^2 - k_{\mu} k_{\nu}) \right]$$

evec F(0) = 0 car $H_{\mu\nu}^{fini} = 0$ (k³) par construction.

Résumons :

$$M(w) = \left[k^2 \int_{\mu v} - k_{\mu} k_{\nu}\right] \left[\frac{1}{2} C + F(k^2)\right]$$

la fonction F (k) étant finie et calculable : d'où notre résultat final.

$$\mathbb{M}_{\mu\nu} = (\text{facteurs externes}) \frac{1}{\mu\nu} \frac{1}{k^2} \frac{1}{k^2} (k^2 \int_{\mu\nu} - k_{\mu} k_{\nu}) \times \left[\frac{1}{2} C_w + F_w(k^2) \right]$$

Le contre-terme pour cette partie w d'énergie propre du photon est fourni par le terme 5 du lagrangien d'interaction :

$$\frac{R}{\sqrt[4]{x}} = \frac{A}{\sqrt[4]{x}} = \frac{A}{\sqrt[4]{x}$$

Passons aux transformés de Fourier. Sa contribution est de la forme :

M' = (même facteurs externes à W)
$$\frac{\int_{x\lambda}}{k^2} \frac{\delta\beta\rho}{k^2} \left[\int_{A\mu} k_{\nu} - \int_{\lambda\nu} k_{\mu} \right]$$

$$\times \left[\int_{\rho\mu} k_{\nu} - \delta_{\rho\nu} k_{\mu} \right] \times -\frac{1}{2} C.$$

Le facteur $-\frac{1}{2}$ C est en fait 2 $(-\frac{1}{4}$ C), parce que dans le diagramme

$$\sum_{\substack{A_{\alpha} \\ \beta}} x = \sum_{\substack{A_{\beta} \\ \text{pairer les opérateurs } F_{\mu\nu}} x \text{ pairer les opérateurs } F_{\mu\nu} x \text{ avec les } A_{\alpha} \text{ et } A_{\beta}.$$

aux deux autres sommets. D'où

$$M' = -\frac{1}{2}C()$$
 $\frac{1}{\mu^{\nu}k^{2}}\frac{1}{k^{2}}(\int_{\mu\nu}k^{2}-k_{\mu}k_{\nu})$

On voit ainsi que l'on pourra éliminer $C_{\overline{W}}$ dans l'élément de matrice M et ne garder que la partie finie.

On comprend de même facilement le rôle des contre-termes (6) et (7). Examinons-le rapidement.

L'élement de matrice correspondant est de la forme (par un calcul analogue au précédent) :

M=(facteurs)
$$\mu$$
 e $\sqrt{\frac{1}{k^2}}$ ($k^2 \sqrt{\mu v} - k \mu k \nu$) x ($C_w + Fw (k^2)$) où e ν provient du champ externe.

On voit que (6) pourra éliminer la constante C_w.

La forme de l'élément de matrice est de même

$$e_{\mu} e_{\nu} (k^2 \delta_{\mu\nu} - k_{\mu} k_{\nu}) (C_w + F_w (k^2))$$

Or, le terme (7) $-\frac{1}{4}$ C $F_{\mu\nu}^e$ $F_{\mu\nu}^e$ éliminera encore le terme en C_w . Arrêtons-nous à l'interprétation physique : le terme fini F_w (k^2) est ici un effet de la polarisation du vide sur le champ externe. En effet, la densité d'énergie du champ externe est

 $-\frac{1}{4}$ (1 + F (k^2)) $F_{\mu\nu}^e$ $F_{\mu\nu}^e$ où le premier terme est la densité d'énergie dans le vide et où le second a la même force que pour un milieu diélectrique (dispersif).

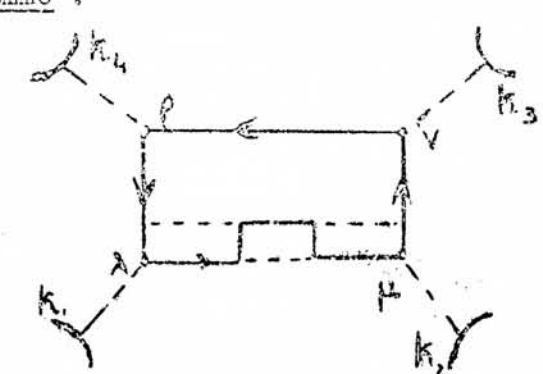
On peut appeler $1+F(k^2)$ la constante diélectrique du vide. Les paires du champ électron - positron du vide agissent comme les atomes d'un solide et dispersent les ondes électro-mégnétiques qui s'y propagent. Pour une onde lumineuse $A^e(x)$, en l'absence de charge, on a l'équation de mouvement

$$\square A^{e}(x) = 0$$
, soit $k^{2} = 0$.

Or, on a défini $F(k^2)$ de sorte que f(0) = 0. Ainsi l'indice du vide pour une telle onde est égal à 1. Les effets de la polarisation du vide ne sont donc observables qu'au voisinage d'une charge cù l'on n'a plus $k^2 = 0$ et donc $F(k^2) \neq 0$.

B. DIFFUSION DE LA LUMIERE PAR LA LUMIERE

Forme du diagramme :



Désignons à nouveau par { s } l'ensemble des variables internes. On voit que l'élément de matrice est de la forme :

M = (facteurs externes) x $\int ds J_{\lambda \mu \nu \rho}$ (s, k, k₂ k₃ k₄).

Ainsi, l'on sait que

J est un tenseur du 4ème ordre;

J est au plus logarithmiquement divergent;

$$(0_p = 4, 0_e = 0).$$

Pour mettre en évidence la partie finie, nous écrivons

$$\int \left(\int_{\lambda \mu \nu \rho} (sk_1 k_2 k_3 k_4) - \int_{\lambda \mu \nu \rho} (s, 000) is + \int_{\lambda \mu \nu \rho} \int_{\lambda \mu \nu \rho} (s, 0000) is + \int_{\lambda \mu \nu \rho} \int_{\lambda \mu \nu \rho} (s, 0000) is + \int_{\lambda \mu \nu \rho} \int_{\lambda \mu \nu \rho} (s, 0000) is + \int_{\lambda \mu \nu \rho} \int_{\lambda \mu \nu \rho} (s, 0000) is + \int_{\lambda \mu \nu \rho} \int_{\lambda \mu \nu \rho} (s, 0000) is + \int_{\lambda \mu \nu \rho} \int_{\lambda \mu \nu \rho} (s, 0000) is + \int_{\lambda \mu \nu \rho} \int_{\lambda \mu \nu \rho} (s, 0000) is + \int_{\lambda \mu \nu \rho} \int_{\lambda \mu \nu \rho} (s, 0000) is + \int_{\lambda \mu \nu \rho} \int_{\lambda \mu \nu \rho} (s, 0000) is + \int_{\lambda \mu \nu \rho} \int_{\lambda \mu \nu \rho} (s, 0000) is + \int_{\lambda \mu \nu \rho} \int_{\lambda \mu \nu \rho} (s, 0000) is + \int_{\lambda \mu \nu \rho} \int_{\lambda \mu \nu \rho} (s, 0000) is + \int_{\lambda \mu \nu \rho} \int_{\lambda \mu \nu \rho} (s, 0000) is + \int_{\lambda \mu \nu \rho} \int_{\lambda \mu \nu \rho} (s, 0000) is + \int_{\lambda \mu \nu \rho} \int_{\lambda \mu \nu \rho} (s, 0000) is + \int_{\lambda \mu \nu \rho} \int_{\lambda \mu \nu \rho} (s, 0000) is + \int_{\lambda \mu \nu \rho} \int_{\lambda \mu \nu \rho} (s, 0000) is + \int_{\lambda \mu \nu \rho} \int_{\lambda \mu \nu \rho} (s, 0000) is + \int_{\lambda \mu \nu \rho} \int_{\lambda \mu \nu \rho} (s, 0000) is + \int_{\lambda \mu \nu \rho} \int_{\lambda \mu \nu \rho} (s, 0000) is + \int_{\lambda \mu \nu \rho} \int_{\lambda \mu \nu \rho} (s, 0000) is + \int_{\lambda \mu \nu \rho} \int_{\lambda \mu \nu \rho} (s, 0000) is + \int_{\lambda \mu \nu \rho} \int_{\lambda \mu \nu \rho} (s, 0000) is + \int_{\lambda \mu \nu \rho} \int_{\lambda \mu \nu \rho} (s, 0000) is + \int_{\lambda \mu \nu \rho} \int_{\lambda \mu \nu \rho} (s, 0000) is + \int_{\lambda \mu \nu \rho} \int_{\lambda \mu \nu \rho} (s, 0000) is + \int_{\lambda \mu \nu \rho} \int_{\lambda \mu \nu \rho} (s, 0000) is + \int_{\lambda \mu \nu \rho} \int_{\lambda \mu \nu \rho} (s, 0000) is + \int_{\lambda \mu \nu \rho} \int_{\lambda \mu \nu \rho} (s, 0000) is + \int_{\lambda \mu \nu \rho} \int_{\lambda \mu \nu \rho} (s, 0000) is + \int_{\lambda \mu \nu \rho} \int_{\lambda \mu \nu \rho} (s, 0000) is + \int_{\lambda \mu \nu \rho} \int_{\lambda \mu \nu \rho} (s, 0000) is + \int_{\lambda \mu \nu \rho} \int_{\lambda \mu \nu \rho} (s, 0000) is + \int_{\lambda \mu \nu \rho} \int_{\lambda \mu \nu \rho} (s, 0000) is + \int_{\lambda \mu \nu \rho} \int_{\lambda \mu \nu \rho} (s, 0000) is + \int_{\lambda \mu \nu \rho} \int_{\lambda \mu \nu \rho} (s, 0000) is + \int_{\lambda \mu \nu \rho} \int_{\lambda \mu \nu \rho} (s, 0000) is + \int_{\lambda \mu \nu \rho} \int_{\lambda \mu \nu \rho} (s, 0000) is + \int_{\lambda \mu \nu \rho} \int_{\lambda \mu \nu \rho} (s, 0000) is + \int_{\lambda \mu \nu \rho} \int_{\lambda \mu \nu \rho} (s, 0000) is + \int_{\lambda \mu \nu \rho} \int_{\lambda \mu \nu \rho} (s, 0000) is + \int_{\lambda \mu \nu \rho} \int_{\lambda \mu \nu \rho} (s, 0000) is + \int_{\lambda \mu \nu \rho} (s, 00$$

On a donc la forme

Mais la théorie est invariante pour un changement de jauge. Supposons qu'au sommet 2 par exemple agisse le pseudo-potentiel $\bigwedge \frac{\partial j\mu}{\partial x\mu}$.

On en déduit l'identité :

$$k_{2\nu} \left[J_{\lambda\mu\nu\rho}^{F} + \dots, \right] \equiv 0$$

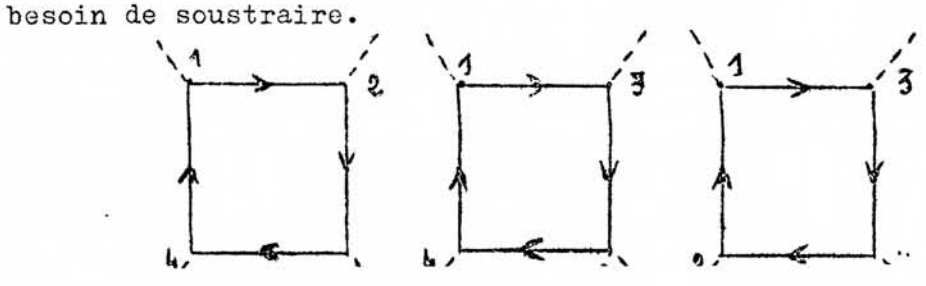
 J^{F} est un tenseur qui est nul pour les $k_{i} = 0$.

On en déduit A = A' = A'' = B = 0.

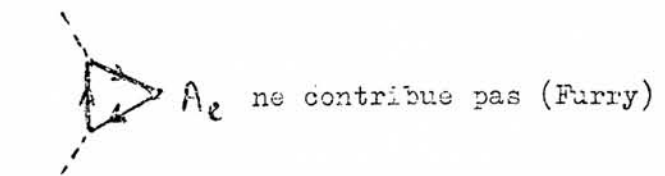
Remarque: En fait, $J_{A\mu\nu\rho}$ est la somme des contributions des diagrammes G obtenus en permutant k_1 k_2 k_3 k_4 parmi les lignes de photon.

Cas particulier.

Pour la diffusion d'un photon par un photon, à l'ordre le plus bas, la somme des contributions des 3 diagrammes est finie, il n'y a pas



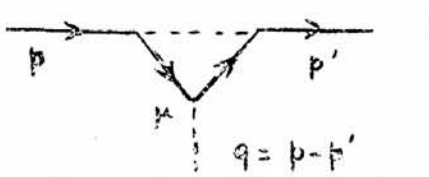
Du point de vue physique, ce sui est intéressant est l'intervention d'un potentiel externe à certains des sommets.



A A

et les diagrammes qui s'en déduisent par permutations des potentiels externes donnent un effet fini (effet Delbrück).

C. VERTEX PART



Nous désignerons par A (p p') l'opérateur correspondan

Forme de l'élement de matrice:

M=(facteurs externes)
$$\int ds \, Q \mu \, (p, p', s)$$

 $S_{F}(p) \, S_{F}(p)$

Comme la divergence n'est de nouveau que logarithmique,

 $\int ds \, Q_{V}(0.0 \, s)$ est certainement de la forme L' U_{V} puisqu'il faut que ce soit un ensemble de matrices de Dirac se transformant comme un vecteur. Soit donc

$$\Lambda^{;fini}_{\mu} (pp') \div L' \not b \mu.$$
 Mais on peut aussi choisir la séparation
$$\Lambda_{\mu} (pp') + L \not b \mu \quad \text{avec la condition supplémentaire } \Lambda_{\mu} (pp') = 0 \text{ si } p = p' \text{ et } (\not p - i \mu) = 0.$$

En effet

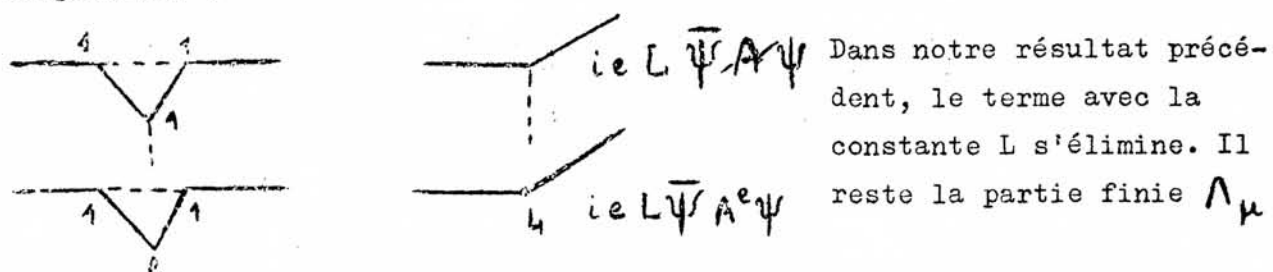
Ainsi, ici deux étapes :

- 1. soustraction (sans interprétation physique du terme avec p = p' = 0
- 2. transformation de L'.

Remarque: Ward use une méthode différente. Il soustrait

 $\int d \, s \, \left[Q_{\mu} \left(p \, p' \, s \right) - Q_{\mu} \left(p_0 \, p_0 \, s \right) \right] \, \text{où } p_0 \, \text{est la valeur pour un}$ électron libre. Mais les formes possibles d'un tel terme sont plus compliquées, car p_0 est un vœteur et l'on doit écrire $L \, \chi_{\mu} + M \, p_{0\,\mu} + \cdots$ Par contre, la signification physique du choix que nous avons fait (L, Λ) est simple : il signifie que les corrections radiatives tendent vers 0 pour les très basses fréquences.

On voit facilement comme plus haut l'action des contre-termes correspondants :



Remarque : La renormalisation du vertex est sans ambigüité parce qu'on a pris la convention que la correction radiative doit s'annuler dans la limite où le moment et l'énergie du photon tendent vers 0.

Les résultats sont encore ici indépendants du choix des s-variables car \int d s $\left[Q \ (p\ p'\ s) - Q \ (0\ 0\ s) \right]$ est une intégrale absolument convergente, et un changement de variables ne changera pas sa valeur.

Dans la théorie mésonique, la renormalisation du vertex est amtigüe parce qu'un méson ne peut pas avoir une énergie nulle, et il n'y a ainsi pas de définition "naturelle" d'une limite passe-fréquence.

D. ENERGIE PROPRE DE L'ELECTRON



Forme de l'élément de matrice :

 $M_{z}(facteurs externes) \int R (p, s) ds$.

R est une matrice de Dirac. La divergence de l'intégrale est linéaire.

Donc, on soustraira

$$\int \left[R (p, s) - R (0, s) - p_{\mu} \left(\frac{\partial}{\partial p_{\mu}} R (p s) \right) \right]_{p=0} ds$$

 $\int R (0 s) d s ne peut être que la matrice de Dirac <u>identité</u> soit <math>\bigvee I_4$ Quant à $\int \left[\frac{\partial}{\partial p_{\mu}} R (p s) \right]_{p=0}^{d} s , ce terme est de la forme B' \right]_{\mu}.$ Ainsi

Nous allons redéfinir les constantes, de manière à ce que les effets d'énergie propre soient nuls pour un électron libre.

$$\int R (p s) d s = Y + B (p - i \mu) + \sum (p) \cdot (p - i \mu)$$

On peut de nouveau faire que $\sum (p) = 0$ pour $p - i \mu = 0$.

Le terme (p) est fini, et complètement défini par la condition précédente. Il est facile de voir l'action des contre-termes.

B (β - iμ) est éliminé par (9) B Ψ (βμ - iμ) Ψ.

la transformée de Fourier de l'opérateur différentiel donnant le facteur β - iμ.

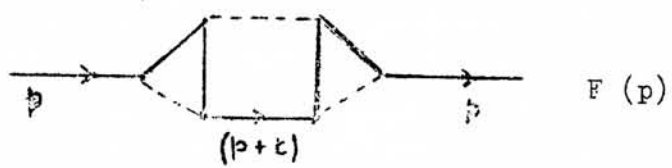
Il nous reste encore deux questions à traiter :

- A. Vérifier l'invariance de jauge de la théorie et la consistence de la renormalisation de charge pour les particules chargées.
- B. S'assurer que dans l'élimination des divergences, on peut se ramener au cas où tous les sous-diagrammes divergents sont correctement ordonnés.

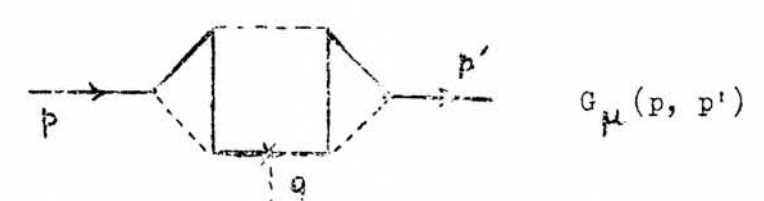
A. Nous voulons montrer que $Z_1 = Z_2$,

ou encore que L = - B.

Soit F(p) la fonction correspondant à un diagramme du type



Considérons la classe correspondante de diagrammes obtenue en insérant une ligne de photons dans les lignes électroniques internes de toutes les manières possibles. Soient G (p p') les fonctions correspondantes



Il faut trouver la relation entre F et G pour pouvoir établir un rapport entre L et B.

Alors on a les formes

$$G_{\mu}(p p') = \int ds (F_1)_{p'} \left[\frac{1}{p' + 2 - i\mu} \right]_{\mu} \frac{1}{p' + 2 - i\mu} (F_2)_{p}$$

$$F(p) = \int ds (F_1)_p \left[\frac{1}{p + k - i \mu}\right] (F_2)_p$$

Calculons $\frac{\partial F(p)}{\partial p_{**}}$. Ce calcul se ramène à celui de

$$\frac{\partial}{\partial p_{\mu}} \frac{1}{\not p + \not t - i \not \mu} = -\lim_{\varepsilon \to 0} \frac{1}{\varepsilon \not \mu} \left[y + \not t - i \not \mu \right]$$

$$-(\not x + \not x - i \not \mu) \left[\frac{1}{\not p + \not x + \varepsilon - i \not \mu} \right]$$

$$=-\frac{1}{\not p+\not j-i\mu} \not \mu \frac{1}{\not p+\not j-i\mu}$$

D'où:

$$-\frac{\partial F}{\partial F_{\mu}} \equiv \sum_{k=0}^{\infty} G_{\mu} (p p) \quad \text{cù } \sum_{k=0}^{\infty} porte \text{ sur toute la classe}$$

de diagrammes associés à F.

Où, en sous-Antendant cette sommation :

$$\frac{-\partial F}{\partial p_{a}} \equiv G \mu \quad (p p) \quad (identité de Ward)$$

Par ailleurs

$$\frac{\partial \mathbf{F}}{\partial \rho_{\mu}} = \mathbf{B} \chi_{\mu} + \sum_{\mathbf{p}} (\mathbf{p}) \chi_{\mu} + \frac{\partial \sum_{\mathbf{p}} (\mathbf{p} - i\mu)}{\partial \rho_{\mu}}$$

$$= -\left(\mathbf{L}' \chi_{\mu} - \Lambda_{\mu} (\mathbf{p} \mathbf{p})\right)$$
Pour un électron libre $\neq = i \mu$

$$\begin{cases} \Lambda_{\mu} (\mathbf{p} \mathbf{p}) = \mathbf{P} \\ \mathcal{L}(\mathbf{p}) = 0 \end{cases}$$

$$d \cdot o \hat{u}$$
 $E = -L$

Supposons un diagramme avec un cycle interne



l'argument de la page (26) s'applique quand la ligne photonique supplémentaire est insérée à une des lignes électroniques 1 2 3. Les lignes 4 5 6 7 portent des moments indépendants de p. Mais en peut ajouter p aux vecteurs moments de ces lignes sans rien changer : c'est une simple redéfinition des variables d'intégration. On est alors ramené au cas précédent.

On a montré que les divergences de G_p (p p) sont sans recouvrement et peuvent dons être isolées dans un ordre hien défini. Il reste à prouver que les différents contre-termes associés au diagramme F, quand en les modifi par addition d'une ligne photonique de manière correspondante au traitement de F, produisent les termes récessaires pour enlever les divergences de chacu des G_p (p p). Nous ne le frons pas. Il est aisé de s'en convaincre avec des exemples. Ainsi

 $\frac{d}{dp_{\mu}} \quad \text{(F + contre-termes)} = \sum_{i=1}^{n} (G_{\mu} + \text{contre-termes})$ où la somme de droite est finie. Donc (F + contre-termes) est une quantité finie et bien définie.

Nous sommes maintenant en mesure de discuter la consistênce de la renormalisation de charge. Rappelons que l'on avait

$$\frac{3}{2} = Z_1 Z_2^{-1} Z_3^{1/2}$$
 et $Z_3 = 1 + C$

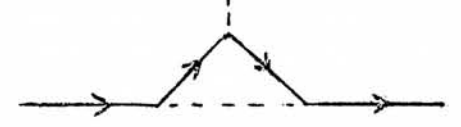
C étant le coefficient des contre-termes de type 5, les diagrammes correspondants ont la forme de



Ainsi $\frac{\hat{e}}{e}$ ne dépend que de Z_3 si Z_1 = Z_2 , et Z_3 ne dépend que des process avec des polygones fermés.

Si on a deux sortes de particules chargées, électron et méson Π par exemple pour chaque champ interagissant avec le champ électromagnétique, on définira respectivement les constantes de renormalisation

Z, décrit par exemple les propriétés particulières d'un électron

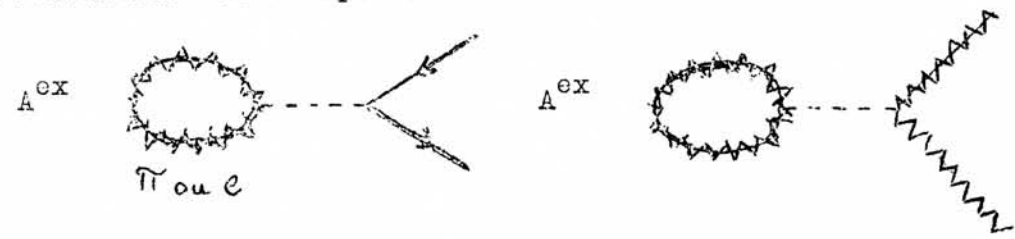


tandis que Z¦ décrira le K



Ainsi, en général, $\begin{cases} Z_1 \neq Z_1^1 \\ Z_2 \neq Z_2^1 \end{cases}$

Mais Z₃ devra décrire la polarisation du vide, qu'elle soit dûe à un é-Alortron cu un méson. Par exemple :



donc on doit avoir $Z_3 = Z_3^1$.

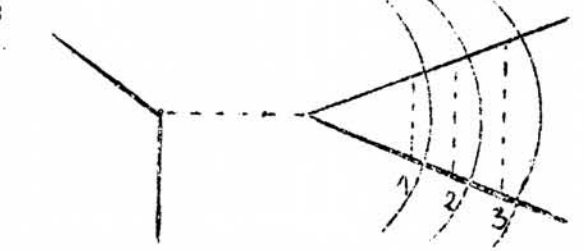
Comme $Z_1 = Z_2$

 $Z_1^{:}=Z_2^{:}$, cela assure la même valeur à la charge renormalisée de l'électron et du $\mathcal T$.

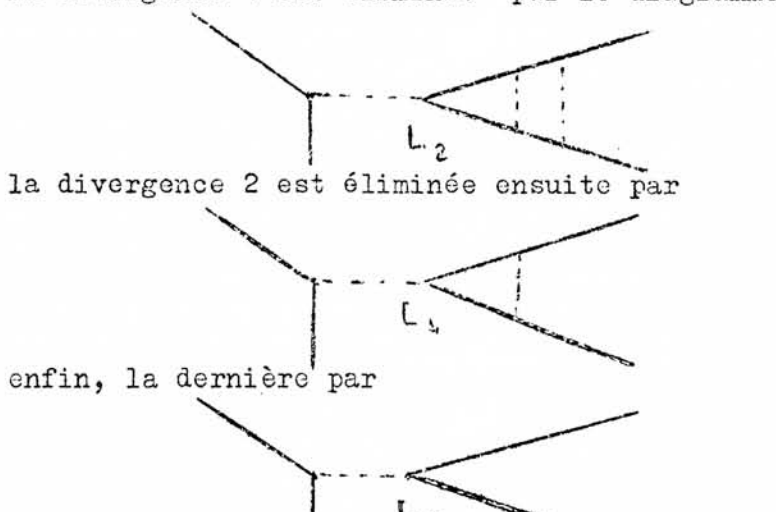
B. Nous allons maintenant examiner si l'on peut définir un procédé permettant de soustraire/les divergences infinies correspondant à certains / dans un ordre bien déterminé

sous-diagrammes d'un diagramme donné.

Prenons d'abord les cas simples où les divergences correspondent à des parties séparées ou entièrement contenues l'une dans l'autre. Par exemple :



la divergence 1 est éliminée par le diagramme

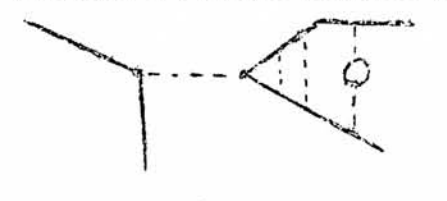


A chaque étape, les intégrales restantes sont logarithmiquement divergentes. Ainsi, quand les parties divergentes sont contenues les unes dans les autres, on peut prendre comme règle de toujours partir de la plus petite.

Dans l'exemple traité, on utilise chaque coefficient de L successivement.

La raison du succès, c'est que dans tout processus, ce sont essentiellement les mêmes corrections radiatives qu'il faut faire, et celles-ci sont rendue: finies par les contre-termes avec les constantes L, B

Prenons un autre exemple :



Avant d'enlever la divergence (3), il faudra enlever la partie d'énérgie propre de sa ligno de photon.

Mais comme elle est satièrement sontonne dans (3), donc <u>séparée</u> des divergences 1 et 2, cela ne crée pas de difficultés supplémentaires.

On peut d'ailleurs commencer par l'éliminer.



On voit comment se pose maintenant le problème : étant donné 2 parties divergentes, D₁ et D₂, il faut pouvoir préciser dans quel ordre on doit les enlever.

Deux cas très simples d'abord :

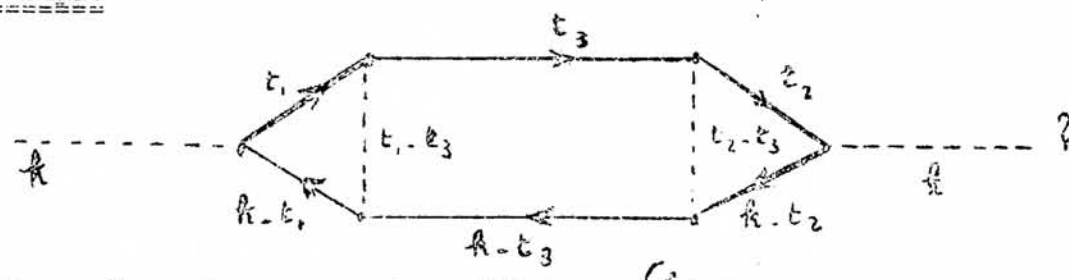
 \underline{D}_{\uparrow} . Nous dirons que D_{\uparrow} vient avant D_{2} et il faut commencer par en lever la divergence associée à D_{\uparrow} .

 $\underline{D_1 \wedge D_2} = \emptyset$: Cela se traduit analytiquement par le fait que dans l'élément de matrice, les intégrations correspondantes aux deux parties D_1 et D_2 n'ont pas de facteurs communs. L'ordre est alors sans importance.

Reste le cas exceptionnel:

$$\underline{D}_1 \xrightarrow{\Lambda} \underline{D}_2 \neq 0 \quad \underline{D}_1 \neq \underline{D}_2 .$$

Exemple



Il y a deux divergences logarithmiques \int d = 1

 $\int_{0}^{\infty} dt_{1} dt_{2} dt_{3} \quad F(\tau_{1}) \quad G(t_{1} t_{3}) \quad E(t_{3}) \quad H(t_{2} t_{3}) \quad J(t_{3} t_{2}) \quad K(t_{2}).$ On a d'ailleurs le tableau des divergences

	ld t ₁	∫d t ₂	∫d t ₃	Jat ₁ at ₃	Jetzat ₃	Jat 1 at 2 at 3
degré du numérateur	4	4	4	8	8	12
degré du dénominateur	4	4	6	8	8	10
divergence	Log	Log	CV	Pog	Log	quadratiqu

Il existe deux méthodes pour traiter ce problème :

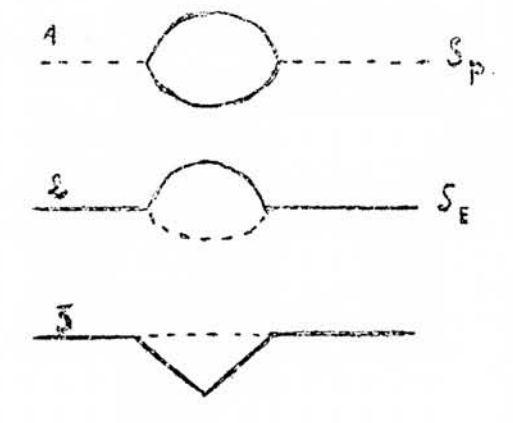
1. Salam.

C'est la méthode directe. Elle consiste à écrire les intégrales d'ordre quelconque et à définir sur elles un processus de soustraction sans ambigüité 2. Ward.

C'est celle que nous suivrons. Elle consiste à réduire le traitement des parties d'énérgie propre à celui des vertex-parts.

Quels sont les types possibles de divergences/ mintes?

a) 2 combinaisons des types de diagrammes d'énergie propre ne peuvent avoir une partie commune à moins que l'un ne soit inclus dans l'autre. Par ecemple, prenons pour D₁



Si $D_1 \wedge D_2 \neq 0$, D_2 contient une des deux lignes électroniques v ou Q de D_1 , il contient donc l'autre - donc contient D_1 .

b) De même, pour les combinaisons des types (1, 3) et (2, 3). Ainsi, ona deux types seulement de diagrammes où figurent des parties divergentes ayant une partie commune, mais

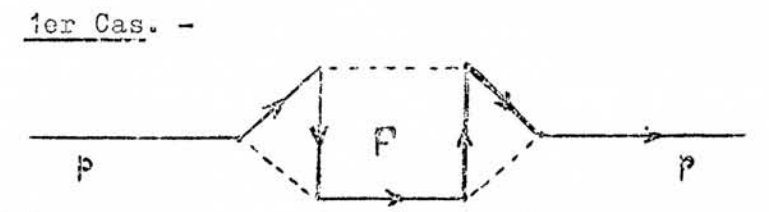
qui ne sont pas contenues l'une dans l'autre; elles résultent des combinaisons (3, 3) à savoir :

Energie propre d'un photon :



Energie propre d'un électron :

Par contre, tout vertex part ne peut contenir de divergences mixtes que par insertion de parties d'énergie propre dans ses lignes internes.



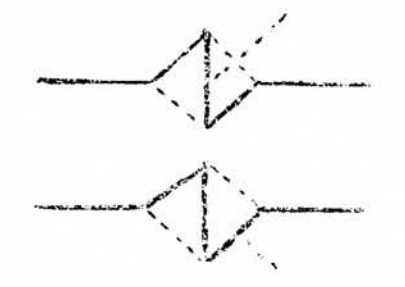
Soit F (p) la fonction correspondante à ce diagramme. Nous pouvons toujours supposer que les variables internes associées à la ligne électronique ouverte sont de la forme $\not s+\not j$. On a vu que

$$\frac{d}{d p_{\mu}} F(p) = \sum_{\mu} G_{\mu} (p p)$$

où l'on considère l'ensemble des diagrammes construits en ajoutant une ligne supplémentaire.

Pour avoir $\frac{d}{d}$ F (p), on prend les éléments de matrice correspondants G μ et l'on fait la somme. Mais l'abolition d'une ligne externe dans chaque diagramme réduit la divergence, et comme elle transforme le diagramme d'énergie propre en somme de vertex parts, les divergences internes de ces derniers peuvent être traitées sans ambigüité.





enlève la divergence de gauche et de droite,

eniève la divergence de droite .

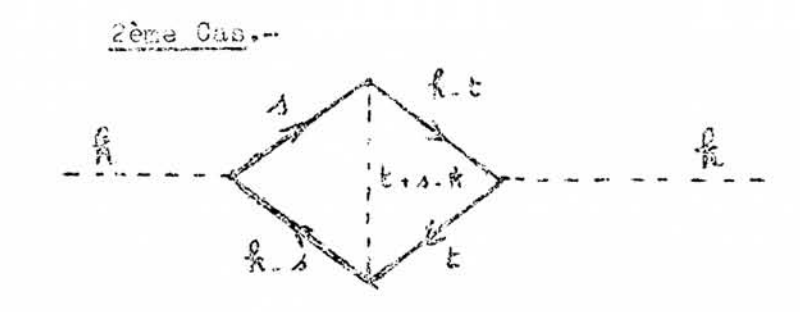
La raison du succès de cette méthode est que l'en remplace un produit (F)
par une somme de termes G en dérivant, ce qui sépare les divergences et permet d'éliminer celles qui figurent encore dans chaque terme de G où elles sont alors "correctement disposées".

On a alors F (p) en intégrant

Les conditions aux limites sont que F (p) doit s'annuler au second crâre pour un électron libre. Or G y s'annule au premier ordre; il suffit alors de prendre

$$F(p) = \int_{p_0}^{p} G_{\mu} dp_{\mu} \begin{cases} p_0 \text{ étant la valeur de p pour un} \\ \text{électron libre.} \end{cases}$$

Isi C (pp) correspond à un processus physique mais il n'en est pas toujours de même, comme nous allons maintenant le voir pour le cas de l'énergie propre d'un photon. Le fait essentiel est ici qu'en modifiant une des lignes électroniques de l'un des vertex parts produisant la divergence mixte, nous avons supprimé la combinaison de divergences internes qui donnait cette divergence mixte.



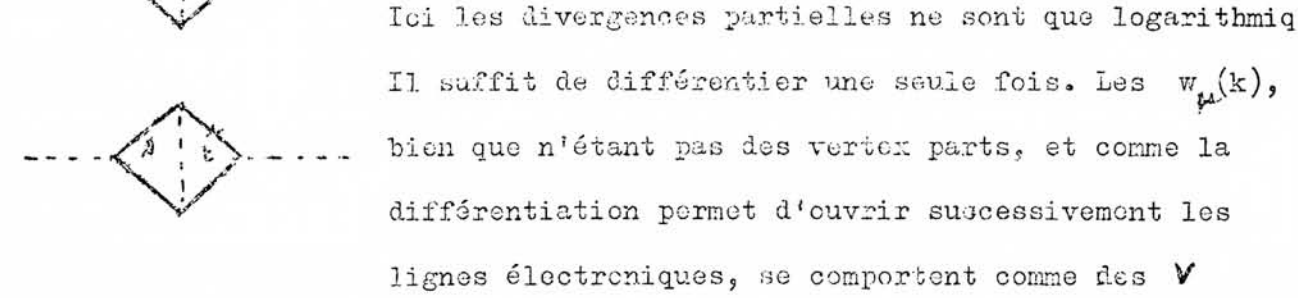
p (k) contient des facteurs de type $\frac{1}{\not z-i\not k}$ $\frac{d}{d\not k}$ donne pour chacun un terme de la forme $\frac{1}{(\not z-i\not k)^2}$ ce qui ajoute une puissance de s au dénominateur.

Calculons $\frac{d}{d\mu}$ p (k). Il faut prendre chaque ligne et additionner les contributions :

$$\frac{d}{d\mu} p(k) = \sum_{k} w_{k}(k)$$

$$\int ds \text{ est convergent,}$$

Jd t est une vertez part que l'en sait traiter, de même en changeant le rêle de s et t.



pour l'analyse des divergences intérieures.

On peut ainsi calculer les $w_{\mu}(k)$, éliminer les infinités qui y figurent, et ensuite remonter aux fonctions P (k) cherchées.

$$P^{\text{fini}}(k) = \int w^{\text{fini}}(k) d_{k} + f(k)$$

la fonction f(k) étant isi arbitraire.

Si l'on passe à la limite des grandes masses, $P^{fini}(k)$ doit tendre vers 0, car $P^{fini}=f(\frac{p}{r})$. Il est donc toujours correct de prendre

$$P(k)^{fini} = -\int_{\mu}^{\infty} w(k)^{fini} d\mu$$

Pour terminer, résumons nos résultats :

Z₂ renormalise le mouvement d'un électron et laisse pour les corrections radiatives une partie finie de la forme

$$F(p) = 0 \quad \text{si } p = i p \tag{A}$$

de même pour Z3

$$---\left(k^{2}\int_{\mathbb{R}^{N}}-k_{\mu}k_{\nu}\right)G(k^{2})$$
Condition de définition : $G(k^{2})=0$ si $k^{2}=0$ (B)

Condition de définition:
$$H_{\mathcal{B}}(p, p) = 0$$
 si $\phi = i \mu$ (0)

(A), (B), (C) déterminent sans ambigüité les constantes de renormalisation $\mathbb{Z}_1,\ \mathbb{Z}_2,\ \mathbb{Z}_3$.

Soit $\psi_{\mathcal{C}}(x)$... l'opérateur de champs renormalisé dans la représentation en interaction (I R) où les équations de mouvement des opérateurs de champs sont celles des champs libres.

Soit $\psi_{\mathbf{g}}^{\mathbf{H}}(\mathbf{x})$ l'opérateur de champs renormalisé dans la représentation de Heisenberg : les équations de mouvement sont celles des champs interagicsants.

Considérons les états à un électron.

Notation:

| par > état d'un électron non interagissant avec le champ de Mawell

C'est la fonction d'onde dans lareprésentation en interaction De même

0 > vide des champs sans interaction.

10 > t vide des champs interagissant dans la représentation en interaction.

On a aussi

$$M = \langle 0 | t \rangle \langle x \rangle$$
 $p u > t$ avec $t = c x_0$

Nous pouvons calculer M par le développement que donne la thécrie des perturbations.

$$\mathbf{H} = \sum_{n=-\infty}^{\infty} \frac{1}{|\mathbf{x}|^{2}} \sum_{n=-\infty}^{\infty} \int \cdots \int d \mathbf{x}_{1} \cdots d \mathbf{x}_{n} < \mathbf{C} \left[\mathbb{F} \left(\sqrt[n]{\mathbf{x}} + (\mathbf{x}_{1}) \cdots \right) \right]$$

$$= \sum_{n=-\infty}^{\infty} \frac{1}{|\mathbf{x}|^{2}} \sum_{n=-\infty}^{\infty} \int \cdots \int d \mathbf{x}_{1} \cdots d \mathbf{x}_{n} < \mathbf{C} \left[\mathbb{F} \left(\sqrt[n]{\mathbf{x}} + (\mathbf{x}_{1}) \cdots \right) \right]$$

les diagrammes de Feynman correspondants ont juste l'allure suivante

Or la contribution totale de tels éléments de matrice est la somme de tous les diagrammes d'énergie propre de l'électron. Chaque diagramme donne une contribution de la forme :

$$\begin{cases}
\frac{1}{p'-i\mu} & F(p)(p'-i\mu) \\
M = \sum_{G} \left(\frac{1}{p'-i\mu} & F(p)(p'-i\mu) \right) & e^{ipx} + M_c
\end{cases}$$

et la limite de toute l'expression sous le signe $\sum_{i=1}^{n} pour \neq i \neq i$ est 0 puisque $\mathbb{F}(i \not\models i) = 0$

Reste M₀

$$D'où M = \langle O | \psi_{\nu}(x) | pu \rangle = -e^{\frac{1}{2}px} \sqrt{\frac{m}{p_0}} \frac{1}{(2\pi)^3}$$

Ainsi

$$\langle 0 | \psi_{\alpha}^{H}(x) | p u \rangle = \langle 0 | \psi^{\alpha}(x) | p u \rangle_{t = cx_{0}} = \langle 0 | \psi_{\alpha}(x) | p u \rangle$$

Avant de renormaliser, on n'avait pas cette propriété. Par exemple,

$$\langle 0 | \psi_{x}(x) | pu \rangle = \langle 0 | \psi_{x}(x) | pu \rangle Z_{2}^{1/2}$$

Ainsi on peut dire que Z_2 et Z_3 sont définis de manière à ce que : pour les champs elle (condition pour Z_2 ou B)

$$\langle 0 | \psi_{\alpha}^{H}(x) | p u \rangle = \langle 0 | \psi_{\alpha}(x) | p u \rangle$$

et pour les champs électromégnatique transverse (Z, ou C)

$$\langle 0 | A_{\mu}^{E}(x) | k \rangle = \langle 0 | A_{\mu}(x) | k \rangle$$

$$= \sqrt{\frac{60}{160}} | k \rangle \approx \mu^{-1} k$$

$$(4)$$

Cette demnière condition élapplique aussi à un potentiel externe. Considére ceci plus en détail :

On a encore, su premier ordre en A^{Θ} , par example, $M^{\circ} = \sum_{i=1}^{N} (\cdots) P \left[\overline{\psi} A \psi_{i}, \dots, \overline{\psi} A^{\Theta} \psi \right], A \mu_{i}(x)$

Le type de diagramme qui intervient ici est le suivant :

En faisant la somme la ces diagrammes on obtient

$$M = (q^2 \mathcal{S}_{\mu\nu} - q_{\mu}q_{\nu}) F(q^2) \frac{1}{q^2} e_{\mu} (q)$$

Mais l'invariance de jouge élimine le terme en q q de sorte qu'il vient, en repassant des moments aux variables d'espace :

⁽à) Ainsi les opérateurs d'Heisenberg sont renormalisés de manière que leur valeurs coïncident avec celles des champs libres.

vers zéro.

Pour un champ constant, la polarisation du vide ne crée pas de charge, mais modifie simplement leur distribution, ce qui est physiquement satisfaisant. La charge totale est la charge des particules qui produisent le champ externe.

Pour les constantes Z_4 , L, le type de diagramme à considérer est : $\overline{\Psi}$ ψ

Exigeons que la charge totale pour un état à un électron ait la valeur observée (renormalisation). Soit :

élecrton interagissant que pour un électron libre.

 $\langle p \ u \ | \ j_{\mu}^{H} \ | \ p \ u \rangle = \langle p \ u \ | \ _{t}^{J} \ | \ p \ u \rangle_{t} = \frac{-e}{-e}$ (à des facteurs constants près; en fait, on a l'expression $Q = \int_{J_{4}^{H}} d \ V$) ce qui exprime que la charge que perte un électron est la même pour un

CALCUL DES DIAGRAMMES RENORMALISUS A L'ORDRE A^e (A)⁴

$$L_{I} = -i e \sqrt{4} \sqrt{4} \sqrt{-i e \sqrt{4}^{\circ} \psi} + i e L \sqrt{4} \sqrt{4} + i e L \sqrt{4}^{\circ} \psi$$

$$-\frac{1}{4} {}^{\circ} F_{\mu\nu} F_{\mu\nu} - \frac{1}{2} {}^{\circ} F_{\mu\nu} F_{\mu\nu} - \frac{1}{4} {}^{\circ} F_{\mu\nu} F_{\mu\nu}$$

$$-\frac{1}{4} {}^{\circ} F_{\mu\nu} F_{\mu\nu} - \frac{1}{6} {}^{\circ} F_{\mu\nu} F_{\mu\nu} - \frac{1}{4} {}^{\circ} F_{\mu\nu} F_{\mu\nu}$$

$$(5) \qquad (6) \qquad (7)$$

$$- \pi e \mu / \sqrt{4} \psi - \pi e B \sqrt{(4)} \sqrt{4} \psi - \frac{1}{4} {}^{\circ} F_{\mu\nu} F_{\mu\nu}$$

$$(8) \qquad (9)$$

Sommets	Diagrammes	Termes
(1, 2)		M _o L ₄ + M ₄
(1,2)	1 2 1	M _o L ₄ + M ₂ L ₂ + M ₄ + (L ₂) ² M _o
(1, 2)		$2 \left[M_{o} L_{4}^{2} + (\delta_{m} M_{2}) + B_{2} M_{2} + M_{4}^{2} + L_{2} (\delta_{m} M_{o}) + L_{2} B_{2} M_{o} \right]$
(1, 2)	1 1 1	$2 \left[M_{0} L_{4}^{3} + M_{2} L_{2} + M_{4}^{3} + (L_{2})^{2} M_{0} \right]$
(1, 2)	1 101 4	$M_{o} L_{4}^{4} + C_{2} M_{2} + C_{2} L_{2} M_{o} + M_{4}^{4}$

